



DIEPI Lazio
Dipartimento di Epidemiologia
del Servizio Sanitario Regionale
Regione Lazio

**Centro di Competenza Nazionale
Dipartimento della Protezione Civile**

**“Sistema Nazionale di allarme per
la prevenzione degli effetti
delle ondate di calore sulla salute”**

***Risultati dei Sistemi di allarme (HHWWS)
e del Sistema rapido di rilevazione della mortalità
giornaliera***

Rapporto 15 maggio – 30 giugno 2013



Ministero della Salute



**Centro Nazionale per la Prevenzione
ed il Controllo delle Malattie**

Indice

Prima Sezione

1. Il Sistema Nazionale di allarme per la prevenzione degli effetti delle ondate di calore sulla salute

2. Il Piano di attività 2013

2.1 Variabili utilizzate per sviluppare i sistemi di allarme HHWW

Indicatore di effetto sulla salute

Variabili meteorologiche: dati osservati retrospettivi

Dati osservati e previsioni meteorologiche

2.2 Definizione dei Sistemi di allarme HHWW

Modelli a masse d'aria

Modelli soglia di Temperatura apparente massima (modello Tappmax)

2.3 Bollettino giornaliero e definizione del rischio

2.4 Il Sistema rapido di rilevazione della mortalità giornaliera

Descrizione del flusso di dati

Definizione delle variabili utilizzate

Seconda Sezione

3. Risultati

Confronto tra città

Tabella 1 . Livelli di rischio previsti dai Sistemi HHWW nelle diverse città nel periodo 15-31 maggio 2013

Tabella 2. Livelli di rischio previsti dai Sistemi HHWW nelle diverse città nel periodo 1-30 giugno 2013.

Figura 1. Andamento della Tappmax osservata e livelli di rischio dai Sistemi HHWW nelle diverse città nel periodo 1-30 giugno 2013

Tabella 3. Temperature osservate nel periodo 15-31 maggio 2013 e nel periodo di riferimento.

Figura 2. Variazioni (differenza) tra i valori medi osservati nel periodo 15-31 maggio 2013 e il riferimento.

Tabella 4. Temperature osservate nel periodo 1-30 giugno 2013 e nel periodo di riferimento.

Figura 3. Variazioni (differenza) tra i valori medi osservati nel periodo 1-30 giugno 2013 e il riferimento.

Tabella 5. Mortalità osservata e attesa, stima dell'eccesso osservato e della variazione percentuale nelle diverse città nel periodo 15-31 maggio 2013.

Tabella 6. Mortalità osservata e attesa, stima dell'eccesso osservato e della variazione percentuale nelle diverse città nel periodo 1-30 giugno 2013.

Tabella 7. Mortalità osservata e attesa, stima dell'eccesso osservato e della variazione percentuale nelle diverse città durante l'ondata di calore di giugno 2013

4. Commenti

Prima Sezione

1. Il Sistema Nazionale di allarme per la prevenzione degli effetti delle ondate di calore sulla salute

Il Dipartimento della Protezione Civile (DPC) ha avviato nel 2004 il progetto “**Valutazione e previsione degli effetti del clima sulla salute**” nell’ambito del quale sono stati realizzati a livello nazionale il sistema di previsione/allerta delle ondate di calore e il sistema di sorveglianza rapido della mortalità giornaliera. Le attività del progetto del DPC sono state integrate con quelle del “Piano operativo nazionale per la prevenzione degli effetti del caldo sulla salute”, del Ministero della Salute/CCM attivato nel 2005 e coordinato dal Dipartimento di Epidemiologia del Servizio Sanitario del Lazio, centro di competenza nazionale del DPC [direttiva del Presidente Consiglio dei Ministri del 27.2.2004 e rep. 3593 del 20/07/2011].

A partire dal 2012, le attività finalizzate all’implementazione del sistema nazionale di previsione/allerta (sviluppo di sistemi di allarme - HHWWS – città specifici) e del sistema nazionale di sorveglianza degli effetti del clima sulla salute (sistema di monitoraggio rapido della mortalità giornaliera) sono divenute parte integrante del Progetto “Piano Operativo Nazionale per la prevenzione degli effetti del caldo sulla salute” del Ministero della Salute.

I sistemi di allarme, denominati *Heat Health Watch Warning Systems* (HHWWS), sono sistemi città-specifici che, utilizzando le previsioni meteorologiche sono in grado di prevedere, fino a 72 ore di anticipo, il verificarsi di condizioni climatiche a rischio per la salute della popolazione e l’impatto sulla mortalità ad esse associato. Tali sistemi rappresentano un importante strumento per la prevenzione se integrati con interventi efficaci rivolti alla popolazione a rischio.

L’attivazione del *sistema di monitoraggio rapido della mortalità* consente di disporre di un sistema di sorveglianza nazionale della mortalità associata alle ondate di calore e fornisce elementi importanti per la valutazione dell’efficacia degli interventi di prevenzione mirati a ridurre l’impatto del clima sulla mortalità durante i periodi estivi.

2. Il Piano di attività 2013

Durante il periodo 15 maggio – 15 settembre 2013 i sistemi di allarme sono operativi in ventisette città (Torino, Milano, Brescia, Bolzano, Trieste, Venezia, Verona, Genova, Bologna, Firenze, Perugia, Ancona, Roma, Rieti, Viterbo, Civitavecchia, Frosinone, Latina, Pescara, Campobasso, Napoli, Bari, Cagliari, Palermo, Catania, Reggio Calabria e Messina).

I sistemi di allarme si basano sull’identificazione delle condizioni meteorologiche associate a significativi incrementi della mortalità attraverso un’analisi retrospettiva. Requisito indispensabile per la realizzazione di tali sistemi è quindi la possibilità di disporre di una serie storica dei dati di mortalità e delle osservazioni meteorologiche della stazione

aeroporto più vicina alla città. Inoltre, per l'elaborazione dei bollettini giornalieri, per tutto il periodo estivo sono necessari i dati meteorologici in tempo reale (ogni 6 ore) e le previsioni a 72 ore.

Per le seguenti città* non è stato possibile attivare il sistema per assenza dei dati meteorologici o di mortalità sui quali si basa l'elaborazione del modello.

- ***L'Aquila e Potenza:** le stazioni meteorologiche sono state chiuse e pertanto non è possibile disporre del dato osservato in tempo reale che viene utilizzato per il controllo e la correzione delle temperature previste.
- ***Aosta,** la serie dei dati meteorologici e di mortalità disponibile è troppo breve; la città dispone di un sistema di allarme sviluppato a livello locale.
- ***Trento, Padova, Taranto e Catanzaro:** non sono disponibili i dati aeroportuali di serie storica ed i dati aeroportuali osservati in tempo reale; la città di Padova dispone di un sistema di allarme sviluppato a livello regionale dall'ARPA Veneto.

2.1. Variabili utilizzate per sviluppare i sistemi di allarme HHWW

Indicatore di effetto sulla salute

Per tutte le città è stata ottenuta la serie storica della mortalità giornaliera (mortalità tra i residenti per tutte le cause e, dove possibile, con esclusione delle cause violente). I dati disponibili sono riportati in Tabella A. Come fonte dei dati per la mortalità sono stati utilizzati i registri di mortalità a livello di Regione o di ASL o i dati anagrafici comunali.

Variabili meteorologiche: dati osservati retrospettivi

Per ogni città è stata utilizzata la serie storica dei dati meteorologici relativa allo stesso periodo per cui è disponibile la serie dei dati di mortalità (Tabella A). Il Centro Nazionale di Meteorologia e Climatologia dell'Aeronautica Militare (CNMCA) e l'ARPA Emilia Romagna hanno fornito i dati storici osservati (SYNOP), misurati dalle stazioni meteorologiche aeroportuali localizzate in prossimità della città, relativi a sei elementi meteorologici misurati ogni tre ore nell'arco della giornata:

- temperatura
- temperatura al punto di rugiada (Dew Point)
- nuvolosità
- pressione barometrica
- velocità del vento
- direzione del vento

Dati osservati e previsioni meteorologiche

Durante il periodo di attivazione dei sistemi di allarme il DPC fornisce giornalmente i valori osservati di temperatura dell'aria e temperatura al punto di rugiada relative alla stazione meteorologica aeroportuale più vicina alla città (Bari: Palese, Bologna: Borgo Panigale, Brescia: Ghedi, Cagliari: Elmas, Catania: Fontanarossa, Firenze: Peretola, Genova: Sestri,

Milano: Linate, Napoli: Capodichino, Palermo: Boccadifalco, Roma: Ciampino, Torino: Caselle, Venezia: Tessera, Verona: Villafranca, Messina, Ancona: Falconara, Bolzano, Campobasso, Civitavecchia, Frosinone, Latina, Perugia: S.Egidio, Pescara, Reggio Calabria, Rieti, Trieste e Viterbo) misurati ogni 6 ore nell'arco della giornata (fonte Aeronautica Militare).

Nel caso in cui non siano disponibili i dati SYNOP, il DPC fornisce i dati METAR (messaggi aeronautici). In particolare, per le città di Perugia e Rieti i dati METAR vengono utilizzati giornalmente poiché non sono rilevati i dati SYNOP.

Il Servizio Meteorologico della Protezione Civile trasmette entro le ore 8:00 di ogni giorno i dati di previsione a 72 ore elaborati secondo il modello Europeo ECMWF e il modello locale per ogni stazione aeroportuale (fonte: Aeronautica Militare).

Inoltre, vengono considerati i dati di previsione elaborati secondo il modello LAMI (Limited Area Model Italy) trasmessi giornalmente dall'ARPA Emilia-Romagna.

2.2 Definizione dei Sistemi di allarme HHWW

I sistemi HHWW sono sviluppati utilizzando approcci metodologici di complessità diversa:

1. modelli basati su indicatori sinottici (modelli a masse d'aria);
2. modelli soglia di Temperatura apparente massima per la stima del rischio di eventi sanitari che includono la temperatura apparente massima, l'interazione tra temperatura apparente massima e mese, le festività ed i giorni consecutivi con temperatura superiore al livello soglia (modello Tappmax).

Il modello da utilizzare viene scelto in base alle caratteristiche di ogni città, in particolare in base alla numerosità della popolazione residente (e quindi degli eventi sanitari attesi) e del numero di anni di osservazione per cui è disponibile la serie storica dei dati (Tabella A).

Tabella A. Serie storiche disponibili, sistemi di allarme implementati

Città	Popolazione*	Mortalità [^]	Meteorologici [^]	Modello di Allarme [°]
Città operative				
Bolzano	C	2001-2011	1996-2011	3
Torino	A	2006-2011	1996-2011	1, 3, 4
Milano	A	2004-2011	1996-2011	1, 3
Brescia	D	2001-2011	1996-2011	3
Verona	B	2001-2011	1996-2011	3
Venezia	B	2001-2011	1997-2011	3
Trieste	B	2001-2011	1996-2011	3
Genova	A	2004-2011	1999-2011	2, 3
Bologna	B	2001-2011	1996-2011	1, 3, 4
Firenze	B	2004-2011	1996-2011	2, 3, 4
Ancona	C	2001-2011	1996-2011	3
Perugia	C	2006-2011	1996-2011	3
Roma	A	2001-2011	1996-2011	1, 3
Viterbo	D	2001-2011	1996-2011	3
Rieti	D	2001-2011	1996-2011	3
Civitavecchia	D	2001-2011	1996-2011	3
Frosinone	D	2001-2011	1996-2011	3
Latina	D	2001-2011	1996-2011	3
Pescara	D	2001-2011	1996-2011	3
Campobasso	C	2001-2011	1996-2011	3
Napoli	A	2001-2011	1997-2011	2, 3
Cagliari	C	2001-2011	1996-2011	3
Bari	B	2001-2011	1996-2011	1, 3
Reggio Calabria	D	2001-2011	1996-2011	3
Messina	B	2001-2011	1996-2011	3
Palermo	A	2001-2011	1996-2011	2, 3
Catania	B	2005-2010	1996-2011	3
Altre città				
Aosta	C	2006-2011	1995-98; 2005-07	4
L'Aquila	C	2001-2008	n.a.	stazione meteorologica chiusa
Potenza	C	2001-2011	1995-2005	stazione meteorologica chiusa
Catanzaro	C	2006-2011	n.a.	
Padova	B	2001-2011	n.a.	4
Taranto	B	2001-2011	n.a.	
Trento	C	2001-2011	n.a.	

* A= città > 500.000 abitanti, B=città con 200.000 - 500.000 abitanti, C=città < 200.000 abitanti e capoluogo di regione/provincia autonoma, D=città < 200.000 abitanti e non capoluogo di regione

° 1=modello massa d'aria; 2=modello soglia; 3=modello Tappmax; 4=modello proprio

^ Nel periodo 2004-2011 dati acquisiti da sistema di allarme/sistema di rilevazione della mortalità giornaliera (maggio-settembre)

Modelli a masse d'aria

I modelli a massa d'aria identificano, per ogni città, le condizioni atmosferiche alle quali è associato un incremento della mortalità. Tali modelli si basano su un approccio "sinottico" che consente, attraverso un sistema di classificazione su base statistica, di riassumere le caratteristiche meteorologiche identificando le "masse d'aria" più comuni durante il periodo estivo. I passaggi per la definizione di tali modelli sono sintetizzati di seguito:

- Definizione delle principali "masse d'aria" durante il periodo estivo in base a sei variabili meteorologiche (*temperatura dell'aria, temperatura al punto di rugiada, nuvolosità, pressione atmosferica, velocità e direzione del vento*) e identificazione, per ogni giorno, della massa d'aria corrispondente.
- Le masse d'aria vengono quindi analizzate in funzione del livello medio di mortalità giornaliera (espressa come variazione rispetto al *baseline* di lungo periodo) al fine di individuare quelle associate ad una mortalità significativamente più elevata. I risultati su alcune città italiane hanno identificato il "*Clima Secco molto Caldo*" (DT) e il "*Clima molto Umido e molto Caldo*" (MT+) come le masse d'aria associate al maggiore incremento della mortalità.
- Sulla base dell'associazione tra indicatori meteorologici ed effetti sulla salute, viene definito, per ogni massa d'aria a rischio, un algoritmo in grado di prevedere l'eccesso di mortalità ad essa associato. Pertanto, a partire dalle previsioni meteorologiche tali modelli prevedono giornalmente il verificarsi di condizioni a rischio ed il corrispondente eccesso di mortalità.

Nella tabella B sono descritte, per le città in cui sono attivi i modelli a massa d'aria, le masse d'aria a rischio (frequenza nel periodo estivo ed eccesso di mortalità associato) e l'algoritmo utilizzato per ogni massa d'aria.

Tabella B. Città in cui sono attivi i modelli a massa d'aria, masse d'aria a rischio (frequenza nel periodo estivo ed eccesso di mortalità associato) e l'algoritmo utilizzato per ogni massa d'aria.

Città Massa d'aria	MA Freq %	Eccesso mortalità stimata (%)	Algoritmo di previsione della mortalità
Torino			
DT	0.4%	-	$-12.8 - 0.022TOS + 0.831T6$
MT	12.5%	4.0%	$-1.6 + 0.071DH$
MT+	5.9%	19.9%	$-12.8 - 0.022TOS + 0.831T6$
Milano			
DT	2%	16.4%	$-1.255 + 1.03DIS + 0.056DH$
MT	23%	-	$-1.255 + 1.03DIS + 0.056DH$
MT+	15%	32.7%	$-1.255 + 1.03DIS + 0.056DH$
Bologna			
DT	13%	12.9%	$-0.677 + 0.286DIS + 0.04 DH$
MT	16%	8.6%	$-0.677 + 0.286DIS + 0.04 DH$
MT+	6%	46%	$0.493 + 0.286DIS + 0.04 DH$
Roma			
DT	8%	20%	$-1.245 + 2.425DIS + 0.102DH - 0.004TOS$
MT+	3.6%	15.4%	$-2.23 + 2.43DIS + 0.102DH - 0.004TOS$
Altre	-	-	$-2.23 + 2.43DIS + 0.102DH - 0.004TOS$
Bari			
DT	9.6%	7.1%	$-1.240 + 0.304DIS + 0.040T12$
MT+	1.7%	19%	$-1.240 + 0.304DIS + 0.040T12$

Di seguito viene riportata la definizione delle variabili utilizzate negli algoritmi:

- **TOS** è il conteggio dei giorni nel corso del periodo estivo (es. 1 giugno=1°, 2 giugno=2° etc.).
- **DH** (degree hours) è la somma dei gradi Celsius di temperatura sopra 20 °C per i quattro intervalli temporali considerati (es. se la temperatura alle ore 6:00 è 22 °C e alle ore 12:00 è 30°C il DH sarà di 2+10=12).
- **DIS** (giorni in sequenza): questo numero tiene conto del numero di giorni consecutivi con masse d'aria a rischio. In presenza di masse d'aria a rischio (MT+, DT) i giorni consecutivi incrementano di 1, mentre per le masse d'aria TR, DM o MT si riducono di 1.
- **T6** è la temperatura alle ore 6:00 GMT
- **T12** è la temperatura alle ore 12:00 GMT
- **Tappmax** è la temperatura apparente massima registrata nelle 24 ore.

Per Milano l'algoritmo utilizzato è lo stesso per tutte le masse d'aria oppressive (DT, MT+), mentre per Bologna l'algoritmo per la massa d'aria MT+ è diverso da quello per le altre masse d'aria.

A Roma, Milano, Bologna e Torino, due masse d'aria, il "*Clima Secco molto Caldo*" (DT) e il "*Clima molto Umido e molto Caldo*" (MT+), sono risultate associate al maggior incremento di mortalità. Altre masse d'aria come "*Clima umido e caldo*" (MT), "*Clima caldo secco*" (DM) e "*Transizione*" (TR) sono risultate associate, anche se in misura minore, ad un incremento della mortalità osservata in alcune città, ma non in altre.

Per queste masse d'aria, a cui non è sempre associato un rilevante eccesso di mortalità (MT, DM, TR) viene comunque stimato l'eccesso di mortalità atteso, poiché, quando inserite in una sequenza di giorni a rischio, possono essere associate ad incrementi di mortalità.

A Roma DT è caratterizzata da tempo sereno e venti da sudovest, una temperatura media massima di 33.1°C, temperature medie notturne di 21.6°C e da bassa umidità relativa; MT+ è caratterizzata da una parziale copertura nuvolosa, venti da sudovest, temperature medie massime di 30.8°C, temperature medie notturne di 22°C e un'alta umidità relativa. L'incremento percentuale medio della mortalità giornaliera associata alle due masse d'aria è pari al 20.2% e al 15.6% rispettivamente.

A Milano DT ha una frequenza molto bassa (2%) ed è caratterizzata da tempo sereno, con una temperatura media massima elevata e bassa umidità relativa. La massa d'aria a maggior rischio è la massa d'aria MT+ caratterizzata da parziale copertura nuvolosa, una temperatura media massima di 32.3°C, temperature medie notturne di 21.2°C ed un'elevata umidità relativa. Tali masse d'aria sono risultate associate ad un incremento percentuale medio della mortalità giornaliera pari al 16.4% e 32.7% rispettivamente.

A Bologna DT è caratterizzata da tempo sereno, una temperatura media massima di 33.2°C, temperatura media minima di 20.5°C, e una moderata umidità relativa; MT+ è caratterizzata da una parziale copertura nuvolosa, una temperatura media massima di 31.1°C, temperatura media minima di 23.8°C ed elevata umidità relativa. Tali masse d'aria sono risultate associate ad un incremento percentuale medio della mortalità giornaliera pari al 12.9% e 46% rispettivamente.

Infine, a Torino MT è caratterizzata da tempo sereno, una temperatura media massima di 26.4°C, temperatura media notturna di 19.3°C, e una moderata umidità relativa; MT+ è caratterizzata da una parziale copertura nuvolosa, una temperatura media massima di 28.7°C, temperatura media notturna di 21.1°C ed un'elevata umidità relativa. Tali masse d'aria sono risultate associate ad un incremento percentuale medio della mortalità giornaliera pari al 4% e 20% rispettivamente. La massa d'aria DT ha una bassissima frequenza (0.4% dei giorni estivi) e non è associata ad un incremento significativo di mortalità.

Modelli soglia di Temperatura apparente massima (modello Tappmax)

Per l'estate 2013 sono stati definiti, per tutte le città, modelli di regressione basati sulla temperatura apparente massima. Tali modelli identificano, per ogni città, i livelli di

temperatura apparente massima associati ad incrementi di mortalità nella popolazione di 65 anni e oltre.

Per ogni città è stato sviluppato un modello di regressione in cui la variabile di esito è la mortalità giornaliera osservata nella popolazione 65 anni e oltre e le variabili esplicative incluse nel modello sono la temperatura apparente massima, l'interazione tra temperatura apparente massima e mese, le festività ed i giorni consecutivi con temperatura superiore al livello soglia.

È quindi possibile costruire una tabella di rischio mensile attraverso la quale si classificano i giorni secondo un livello di rischio crescente. L'incremento di rischio di eventi sanitari (incremento percentuale della mortalità attesa) è stato quindi classificato in 3 categorie di rischio crescente:

- **Nessuno rischio:** mortalità stimata inferiore al 10%
- **Rischio medio:** mortalità stimata compresa tra il 10% e il 20%
- **Rischio alto:** mortalità stimata superiore al 20%.

2.3 Bollettino giornaliero e definizione del rischio

I modelli HHWWS vengono elaborati a livello centrale. Giornalmente le previsioni meteorologiche vengono utilizzate per prevedere le masse d'aria e/o le condizioni climatiche a rischio e l'eventuale eccesso di mortalità ad esse associato. Le previsioni meteorologiche vengono preventivamente corrette attraverso l'applicazione di metodologie appropriate per riflettere meglio le condizioni meteorologiche del centro città.

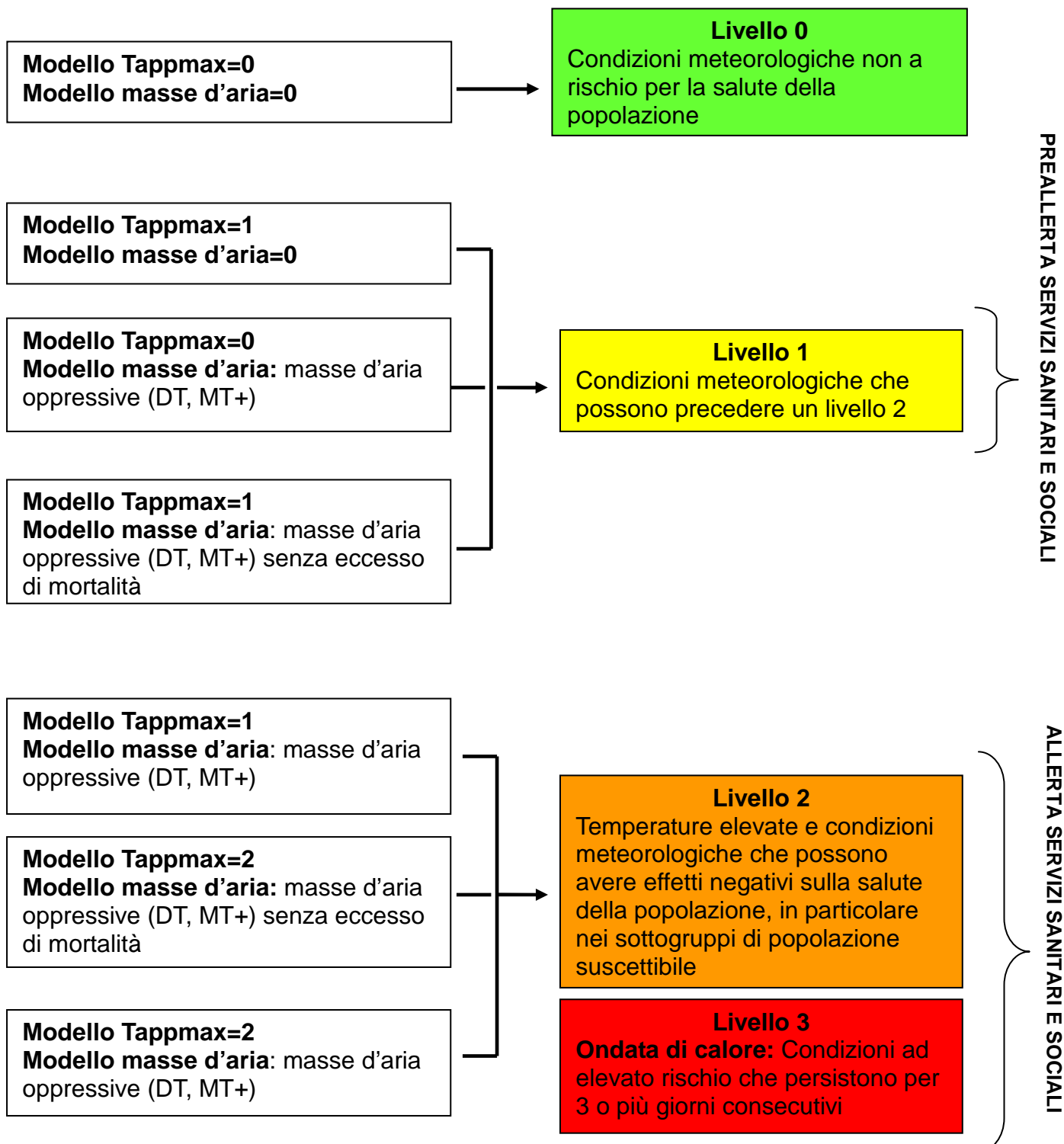
I risultati dei modelli HHWWS vengono sintetizzati in un bollettino giornaliero che contiene le previsioni meteorologiche ed un livello di rischio graduato per i tre giorni successivi. I risultati del sistema a masse d'aria e del modello Tappmax vengono integrati per assegnare uno dei quattro livelli di rischio (tabella C).

Nel caso in cui i modelli diano risultati discordanti rispetto ai criteri elencati sopra (2 livelli di differenza) prevale il livello indicato dal modello Tappmax e la discordanza viene segnalata in una nota nell'invio del bollettino.

Nel caso in cui, dopo un livello 2 o 3 si verificano condizioni di livello 0 ("cessato allarme"), può essere emesso per il primo giorno un livello 1 per tenere conto del tempo di latenza degli effetti del caldo sulla salute.

Poiché il livello 3 indica la persistenza di un livello 2, per definizione, un livello 3 non può essere seguito dal livello 2.

Tabella C. Criteri utilizzati per la definizione del livello di rischio (livello 0, 1, 2, 3)



Esempio di Bollettino giornaliero

Sistema di allarme per la prevenzione degli effetti delle ondate di calore sulla salute

ROMA

Previsione per il giorno:			
	30/06/2013	01/07/2013	02/07/2013
	LIVELLO 0	LIVELLO 0	LIVELLO 0
Temperatura ore 8:00	15	16	21
Temperatura ore 14:00	26	28	30
Temperatura massima percepita *	23	28	29

Livello 0	Condizioni meteorologiche non a rischio per la salute della popolazione
Livello 1	Condizioni meteorologiche che possono precedere un livello 2. Pre-Alerta dei servizi sanitari e sociali.
Livello 2	Temperature elevate e condizioni meteorologiche che possono avere effetti negativi sulla salute della popolazione, in particolare nei sottogruppi di popolazione suscettibili# Alerta dei servizi sanitari e sociali.
Livello 3	Ondata di calore. Condizioni ad elevato rischio che persistono per 3 o più giorni consecutivi. Alerta dei servizi sanitari e sociali.

* Indicatore di disagio bioclimatico che tiene conto della temperatura dell'aria e dell'umidità relativa.

Per approfondimenti: www.salute.gov.it/caldo.html

A cura del
Centro di Competenza Nazionale



Ministero della Salute



Dipartimento di Epidemiologia
del Servizio Sanitario Regionale
Regione Lazio



PROTEZIONE CIVILE
Presidenza del Consiglio dei Ministri
Dipartimento della Protezione Civile

2.4 Il Sistema rapido di rilevazione della mortalità giornaliera

Descrizione del flusso di dati

Il Sistema rapido di rilevazione della mortalità consente di disporre di un sistema per l'acquisizione tempestiva dei dati necessari al monitoraggio e sorveglianza della mortalità associata alle ondate di calore e per la valutazione della validità dei modelli di previsione attivati nelle città incluse nel Piano Operativo nazionale. Dal 2007 il sistema rileva i dati di mortalità durante tutto l'anno.

L'Ufficio anagrafe dei Comuni coinvolti trasmette giornalmente al Centro di Competenza nazionale (CC), le denunce di decesso relative agli eventi occorsi nelle 24-48 ore dalla registrazione del decesso. Le informazioni inviate giornalmente comprendono:

Dati anagrafici

- genere (M/F)
- data di nascita e data di decesso (gg/mm/aaaa)
- comune di nascita, di residenza e di decesso

Dati riguardanti il decesso

- luogo del decesso (casa, istituto di cura pubblico o privato, altro)
- morte avvenuta per causa naturale/causa violenta

La mortalità giornaliera viene ricostruita attraverso le denunce di decesso inviate nelle 72 ore successive. Giornalmente vengono effettuati controlli sulla qualità e sulla completezza dei dati di mortalità ricevuti e vengono recuperati eventuali dati mancanti. Presso il CC viene creato un *database* dell'andamento della mortalità giornaliera osservata.

Si ricorda che, per quanto riguarda Firenze, i dati giornalieri di mortalità vengono integrati con i dati relativi ai decessi dei residenti avvenuti nel Comune di Bagno a Ripoli, dove è presente un ospedale che ha come bacino di utenza il Comune di Firenze.

Per L'Aquila l'invio dei dati di mortalità è sospeso da marzo 2009 e per Catania da settembre 2010.

Definizione delle variabili utilizzate

Nella seconda sezione, per ogni città, sono riportati i decessi osservati, i decessi attesi (*baseline*) e la stima dell'eccesso di mortalità nella classe di età 65 anni e oltre nel periodo 15-31 Maggio e 1-30 Giugno (tabelle 5 e 6). La stima dell'eccesso di mortalità viene calcolata come differenza tra i valori della mortalità osservata nel periodo e i valori della mortalità attesa. Per le città di Aosta, Catania, Catanzaro, Civitavecchia, Frosinone, Perugia e Viterbo viene considerata la mortalità giornaliera escluse le cause violente, mentre per le altre città si considera la mortalità giornaliera totale.

Mortalità giornaliera attesa: Per ogni città la mortalità giornaliera attesa (*baseline*) viene definita come la media per giorno della settimana e numero della settimana calcolata sulla popolazione di età superiore a 65 anni, per i periodi disponibili in ciascuna città (Tabella A). Per tutte le città il *baseline* è calcolato sulla mortalità totale, tranne che per Aosta, Catania, Catanzaro, Civitavecchia, Frosinone, Perugia e Viterbo per le quali è stato possibile escludere i decessi per cause violente.

Dall'estate 2012 il sistema di acquisizione dei dati di mortalità on line funziona a regime, 14 città forniscono direttamente i loro dati attraverso la piattaforma online, mentre per le altre 18 città i file vengono inviati al Dipartimento di Epidemiologia del SSR- Lazio e inseriti nel database. Tale sistema ha permesso di migliorare la qualità dei dati, della tempistica del sistema e del suo monitoraggio.

Seconda Parte

Risultati

Confronto tra città

Tabella 1. Livelli di rischio previsti dai Sistemi HHWW nelle diverse città nel periodo 15-31 maggio 2013

Città	maggio																
	15	16	17	18	19	20	21	22	23	24	25	26	27	28	29	30	31
BOLZANO	0	0	0	0	0	0	0	0	0	0	0	0	0	0	0	0	0
TORINO	0	0	0	0	0	0	0	0	0	0	0	0	0	0	0	0	0
TORINO_ARPA*																	
MILANO	0	0	0	0	0	0	0	0	0	0	0	0	0	0	0	0	0
BRESCIA	0	0	0	0	0	0	0	0	0	0	0	0	0	0	0	0	0
VERONA	0	0	0	0	0	0	0	0	0	0	0	0	0	0	0	0	0
VENEZIA	0	0	0	0	0	0	0	0	0	0	0	0	0	0	0	0	0
TRIESTE	0	0	0	0	0	0	0	0	0	0	0	0	0	0	0	0	0
GENOVA	0	0	0	0	0	0	0	0	0	0	0	0	0	0	0	0	0
BOLOGNA	0	0	0	0	0	0	0	0	0	0	0	0	0	0	0	0	0
BOLOGNA_ARPA	0	0	0	0	0	0	0	0	0	0	0	0	0	0	0	0	0
FIRENZE	0	0	0	0	0	0	0	0	0	0	0	0	0	0	0	0	0
FIRENZE_CIBIC	0	0	0	0	0	0	0	0	0	0	0	0	0	0	0	0	0
ANCONA	0	0	0	0	0	0	0	0	0	0	0	0	0	0	0	0	0
PERUGIA	0	0	0	0	0	0	0	0	0	0	0	0	0	0	0	0	0
ROMA	0	0	0	0	0	0	0	0	0	0	0	0	0	0	0	0	0
VITERBO	0	0	0	0	0	0	0	0	0	0	0	0	0	0	0	0	0
RIETI	0	0	0	0	0	0	0	0	0	0	0	0	0	0	0	0	0
CIVITAVECCHIA	0	0	0	0	0	0	0	0	0	0	0	0	0	0	0	0	0
FROSINONE	0	0	0	0	0	0	0	0	0	0	0	0	0	0	0	0	0
LATINA	0	0	0	0	0	0	0	0	0	0	0	0	0	0	0	0	0
PESCARA	0	0	0	0	0	0	0	0	0	0	0	0	0	0	0	0	0
CAMPOBASSO	0	0	0	0	0	0	0	0	0	0	0	0	0	0	0	0	0
NAPOLI	0	0	0	0	0	0	0	0	0	0	0	0	0	0	0	0	0
CAGLIARI	0	0	0	0	0	0	0	0	0	0	0	0	0	0	0	0	0
BARI	0	0	0	0	1	0	0	0	0	0	0	0	0	0	0	0	0
REGGIOCALABRIA	0	0	0	0	0	0	0	0	0	0	0	0	0	0	0	0	0
MESSINA	0	0	0	0	0	0	0	0	0	0	0	0	0	0	0	0	0
PALERMO	0	0	0	0	0	0	0	1	0	0	0	0	0	0	0	0	0
CATANIA	0	0	0	0	0	0	0	0	0	0	0	0	0	0	0	0	0

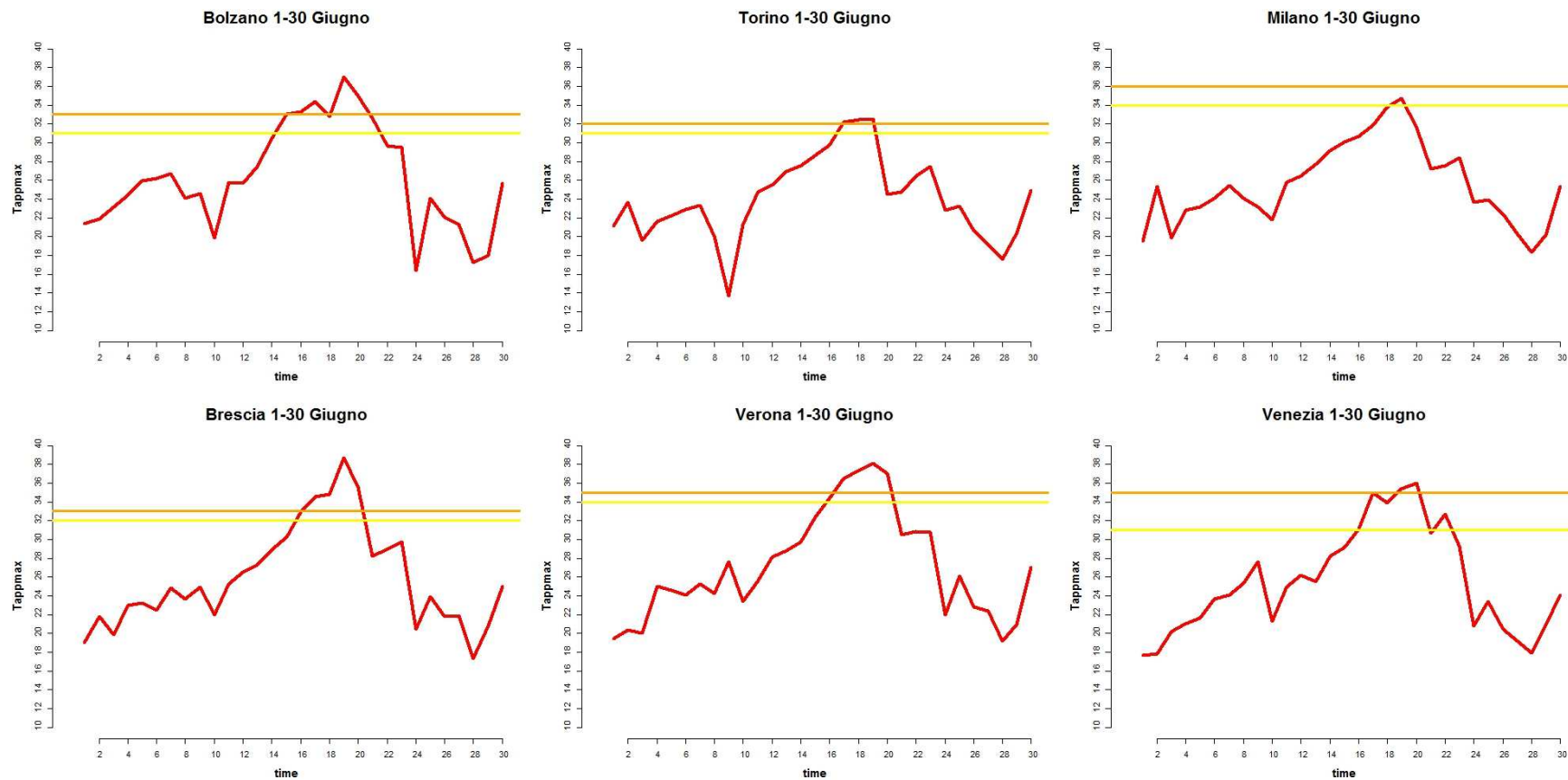
* dati non disponibili

Tabella 2. Livelli di rischio previsti dai Sistemi HHWW nelle diverse città nel periodo 1-30 giugno 2013

Città	Giugno																														
	1	2	3	4	5	6	7	8	9	10	11	12	13	14	15	16	17	18	19	20	21	22	23	24	25	26	27	28	29	30	
BOLZANO	0	0	0	0	0	0	0	0	0	0	0	0	0	0	1	2	1	2	2	3	3	0	0	0	0	0	0	0	0	0	0
TORINO	0	0	0	0	0	0	0	0	0	0	0	0	0	0	0	0	0	1	1	0	0	0	0	0	0	0	0	0	0	0	0
TORINO_ARPA*																	2	2	1	1	0	0	0	0	0	0	0	0	0	0	0
MILANO	0	0	0	0	0	0	0	0	0	0	0	0	0	0	1	1	1	2	1	1	0	0	0	0	0	0	0	0	0	0	0
BRESCIA	0	0	0	0	0	0	0	0	0	0	0	0	0	0	0	1	2	2	3	3	1	0	0	0	0	0	0	0	0	0	0
VERONA	0	0	0	0	0	0	0	0	0	0	0	0	0	0	0	0	1	2	2	3	1	0	0	0	0	0	0	0	0	0	0
VENEZIA	0	0	0	0	0	0	0	0	0	0	0	0	0	0	0	0	1	2	2	3	1	1	0	0	0	0	0	0	0	0	0
TRIESTE	0	0	0	0	0	0	0	0	0	0	0	0	0	0	0	0	1	2	2	3	1	0	1	0	0	0	0	0	0	0	0
GENOVA	0	0	0	0	0	0	0	0	0	0	0	0	0	0	0	0	1	1	1	0	0	0	0	0	0	0	0	0	0	0	0
BOLOGNA	0	0	0	0	0	0	0	0	0	0	0	0	0	0	0	0	1	2	2	3	1	0	0	0	0	0	0	0	0	0	0
BOLOGNA_ARPA	0	0	0	0	0	0	0	0	0	0	0	0	0	0	0	1	1	2	2	3	0	0	0	0	0	0	0	0	0	0	0
FIRENZE	0	0	0	0	0	0	0	0	0	0	0	0	0	0	0	0	1	2	2	3	1	0	0	0	0	0	0	0	0	0	0
FIRENZE_CIBIC	0	0	0	0	0	0	0	0	0	0	0	0	0	0	0	0	1	2	3	3	0	0	0	0	0	0	0	0	0	0	0
ANCONA	0	0	0	0	0	0	0	0	0	0	0	0	0	0	0	0	0	1	2	2	1	0	0	0	0	0	0	0	0	0	0
PERUGIA	0	0	0	0	0	0	0	0	0	0	0	0	0	0	0	1	1	2	2	3	1	0	0	0	0	0	0	0	0	0	0
ROMA	0	0	0	0	0	0	0	0	0	0	0	0	0	0	0	0	1	2	2	3	1	0	0	0	0	0	0	0	0	0	0
VITERBO	0	0	0	0	0	0	0	0	0	0	0	0	0	0	0	0	1	1	1	1	0	0	0	0	0	0	0	0	0	0	0
RIETI	0	0	0	0	0	0	0	0	0	0	0	0	0	0	0	0	1	2	2	3	1	0	0	0	0	0	0	0	0	0	0
CIVITAVECCHIA	0	0	0	0	0	0	0	0	0	0	0	0	0	0	0	0	0	0	1	0	0	0	0	0	0	0	0	0	0	0	0
FROSINONE	0	0	0	0	0	0	0	0	0	0	0	0	0	0	0	0	1	2	2	3	0	0	0	0	0	0	0	0	0	0	0
LATINA	0	0	0	0	0	0	0	0	0	0	0	0	0	0	0	0	0	2	2	3	1	0	0	0	0	0	0	0	0	0	0
PESCARA	0	0	0	0	0	0	0	0	0	0	0	0	0	0	0	0	0	2	2	3	3	0	0	0	0	0	0	0	0	0	0
CAMPOBASSO	0	0	0	0	0	0	0	0	0	0	0	0	0	0	0	0	0	2	2	3	3	0	0	0	0	0	0	0	0	0	0
NAPOLI	0	0	0	0	0	0	0	0	0	0	0	0	0	0	0	0	1	1	1	1	1	0	0	0	0	0	0	0	0	0	0
CAGLIARI	0	0	0	0	0	0	0	0	0	0	0	0	0	0	0	0	0	0	0	0	0	0	0	0	0	0	0	0	0	0	0
BARI	0	0	0	0	0	0	0	0	0	0	0	0	0	0	0	1	1	1	1	2	2	0	0	0	0	0	0	0	0	0	0
REGGIOCALABRIA	0	0	0	0	0	0	0	0	0	0	0	0	0	0	0	0	1	0	1	1	1	0	0	0	0	0	0	0	0	0	0
MESSINA	0	0	0	0	0	0	0	0	0	0	0	0	0	0	0	0	0	0	1	1	1	0	0	0	0	0	0	0	0	0	0
PALERMO	0	0	0	0	0	0	0	0	0	0	0	0	0	0	0	0	1	1	1	1	1	0	0	0	0	0	0	0	0	0	0
CATANIA	0	0	0	0	0	0	0	0	0	0	0	0	0	0	0	0	0	0	0	0	1	0	0	0	0	0	0	0	0	0	0

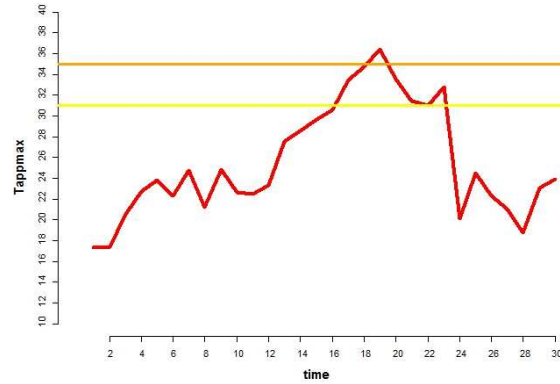
* dati non disponibili fino al 16 giugno

Figura 1. Andamento della Tappmax osservata e dei livelli di rischio dai Sistemi HHWW nelle diverse città nel periodo 1-30 giugno 2013

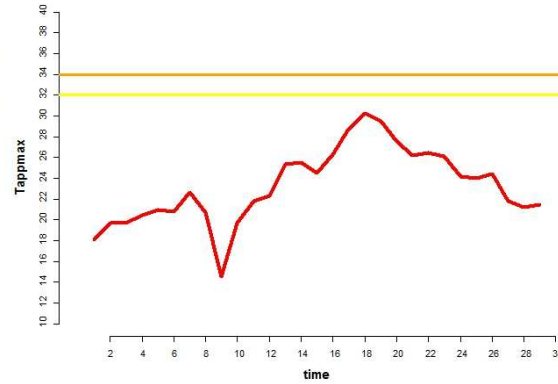




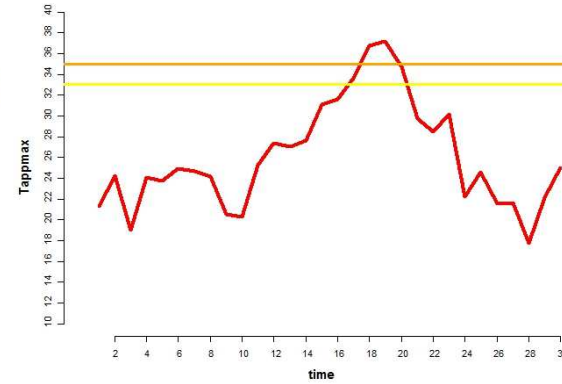
Trieste 1-30 Giugno



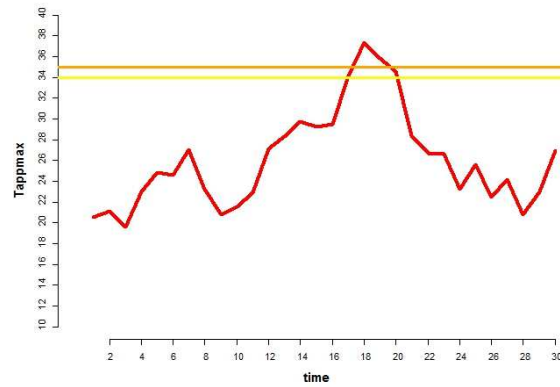
Genova 1-30 Giugno



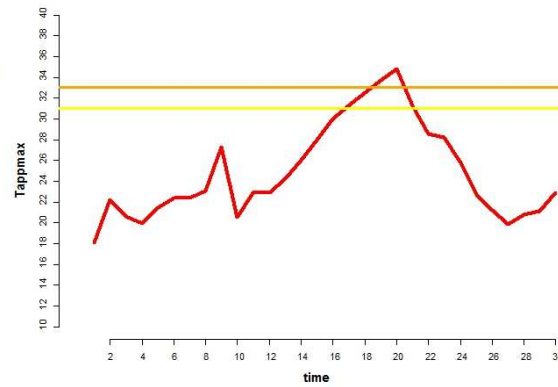
Bologna 1-30 Giugno



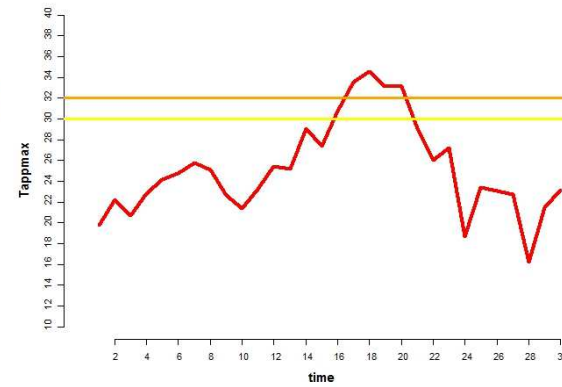
Firenze 1-30 Giugno



Ancona 1-30 Giugno

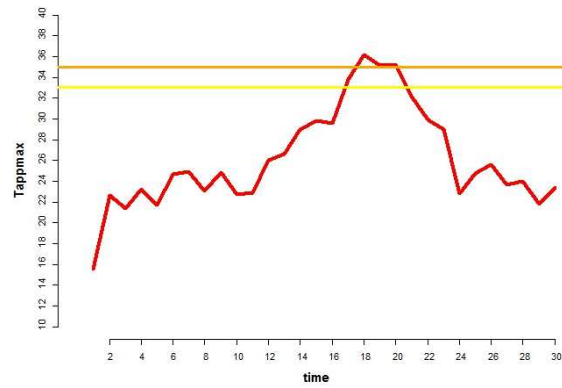


Perugia 1-30 Giugno

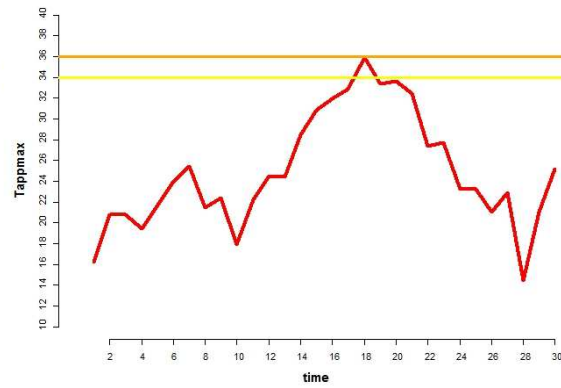




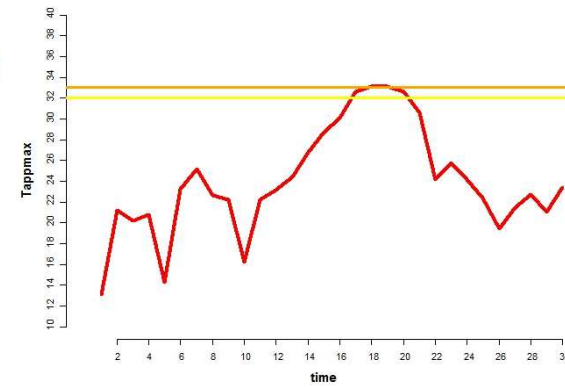
Roma 1-30 Giugno



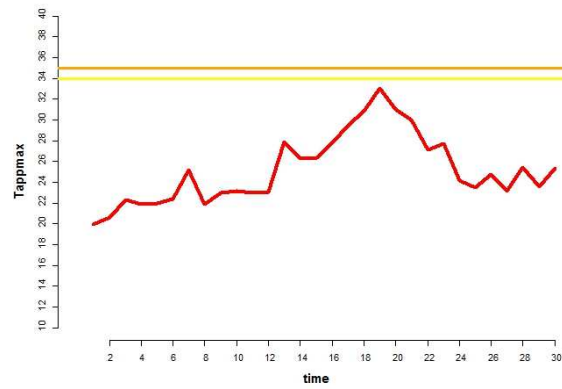
Viterbo 1-30 Giugno



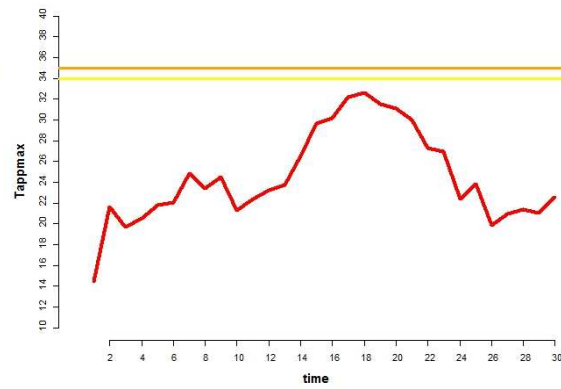
Rieti 1-30 Giugno



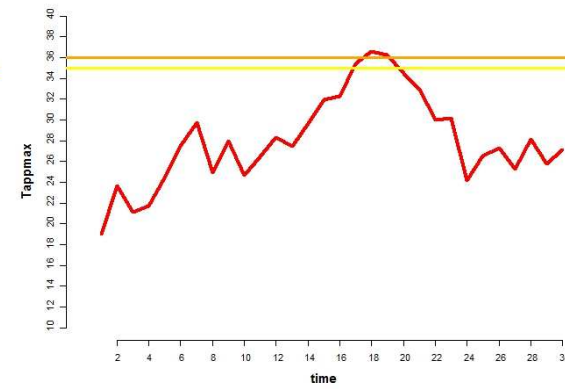
Civitavecchia 1-30 Giugno



Frosinone 1-30 Giugno

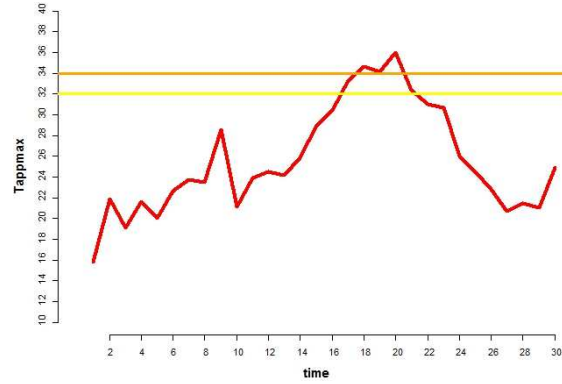


Latina 1-30 Giugno

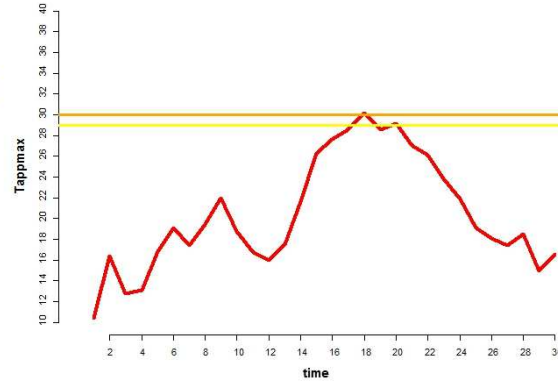




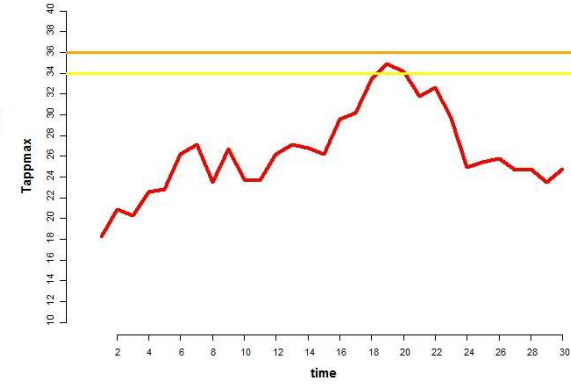
Pescara 1-30 Giugno



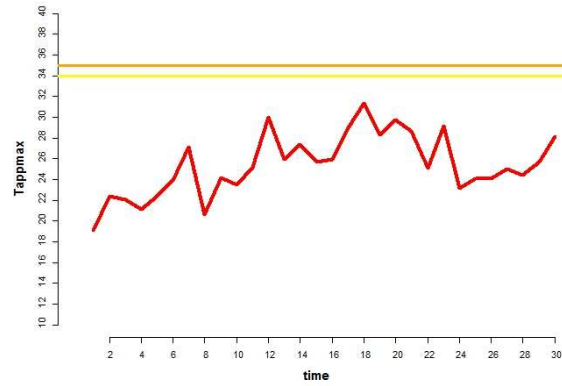
Campobasso 1-30 Giugno



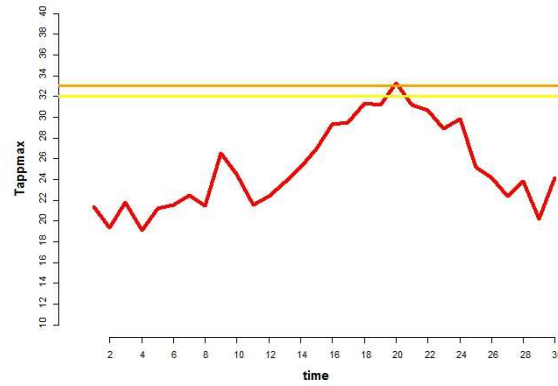
Napoli 1-30 Giugno



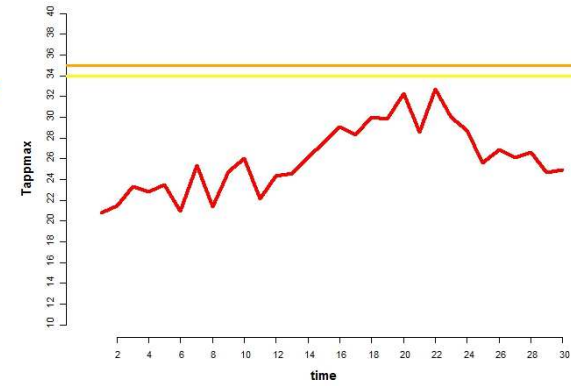
Cagliari 1-30 Giugno



Bari 1-30 Giugno



Reggiocalabria 1-30 Giugno

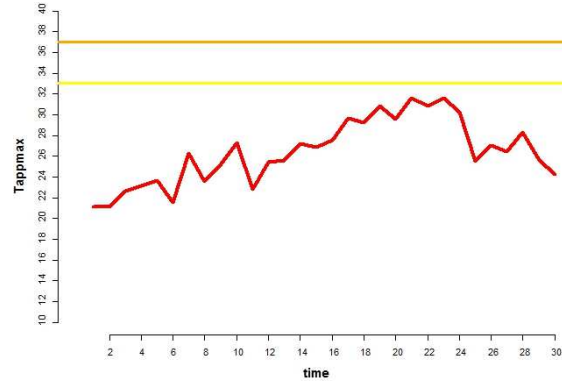




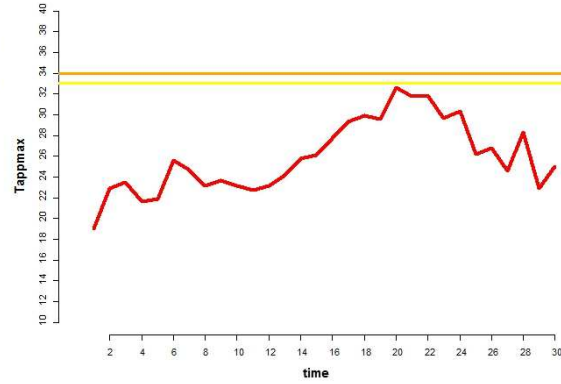
DIEPI Lazio
Dipartimento di Epidemiologia
del Servizio Sanitario Regionale
Regione Lazio

**Centro di Competenza Nazionale
Dipartimento della Protezione Civile**

Messina 1-30 Giugno



Palermo 1-30 Giugno



Catania 1-30 Giugno

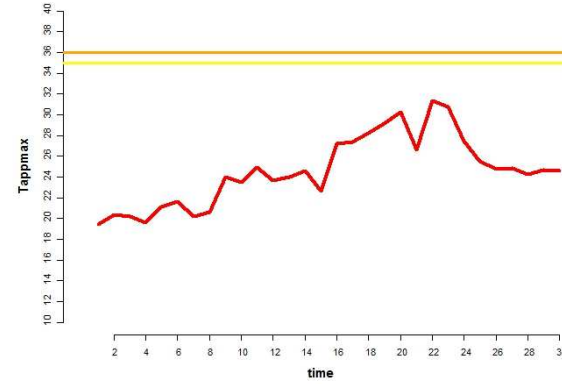
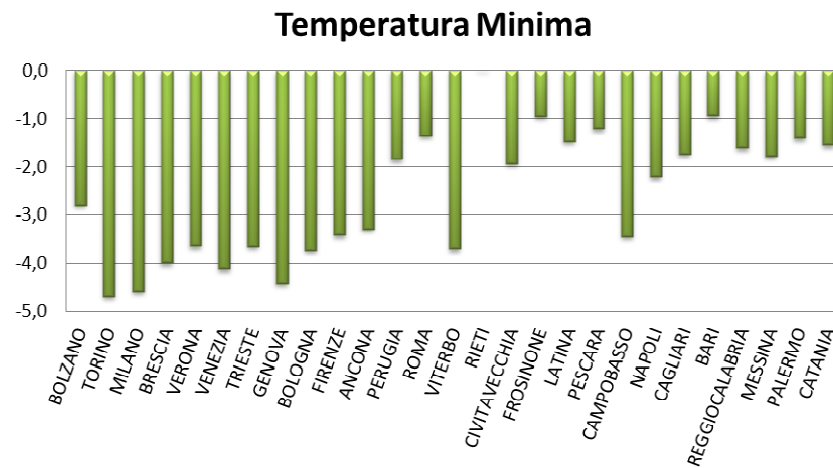
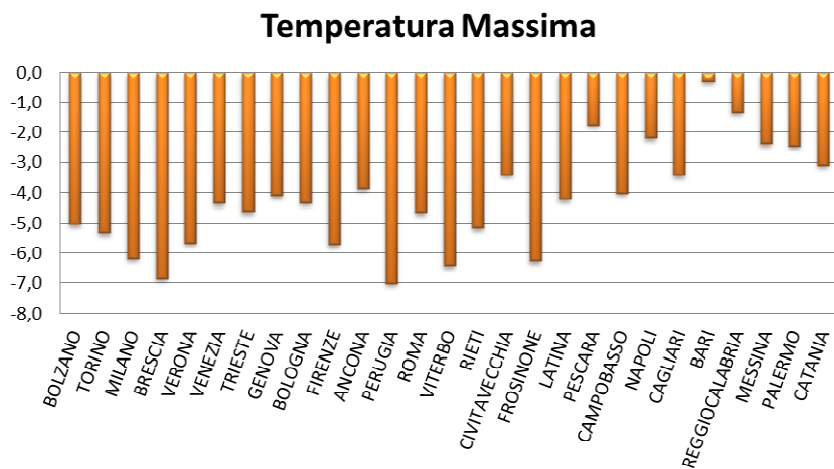
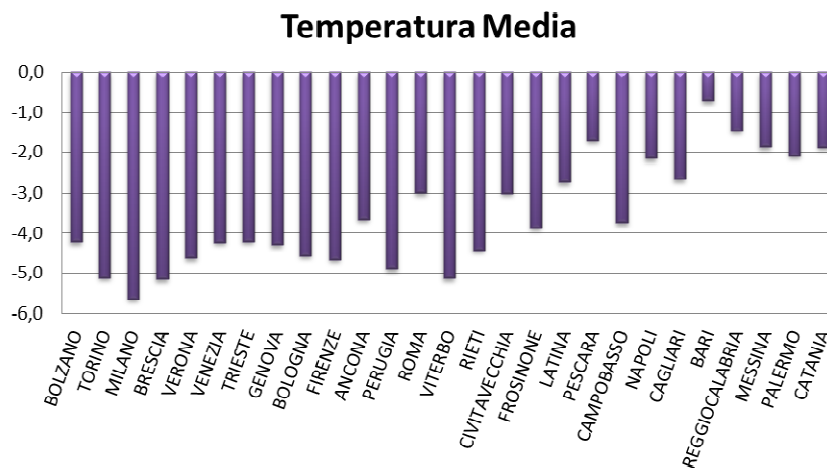
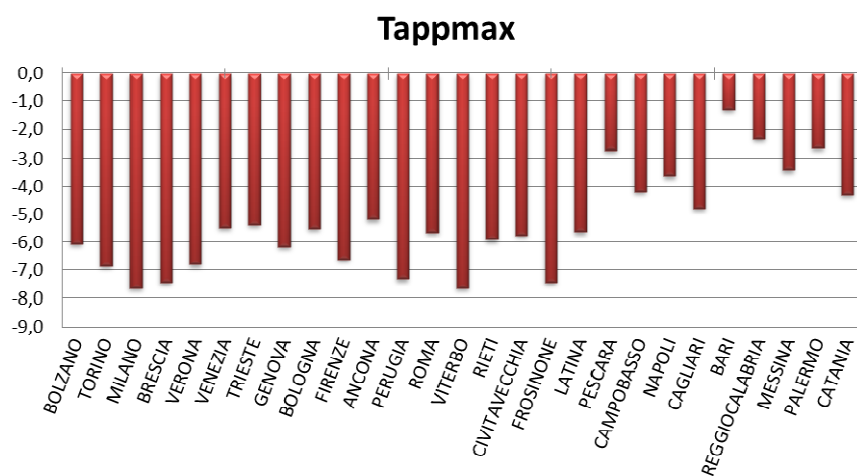


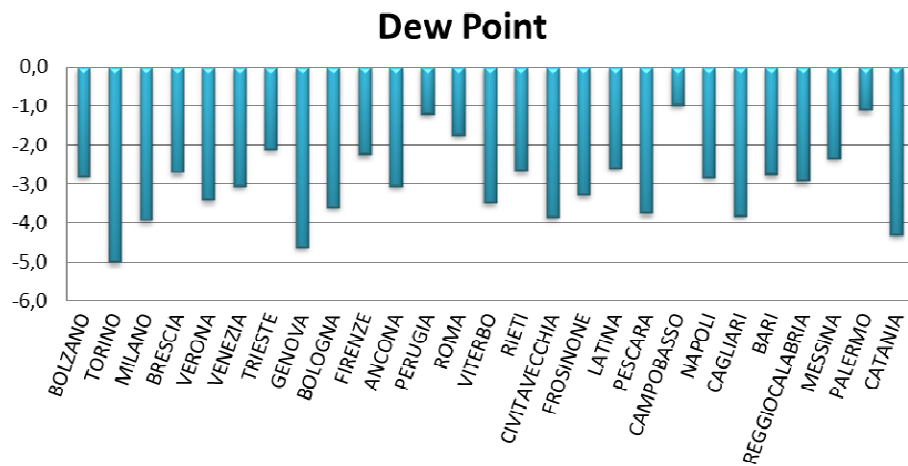
Tabella 3. Temperature osservate nel periodo 15-31 maggio 2013 e nel periodo di riferimento*

Città	Tappmax			Temperatura dell'aria									Dew point		
				Media			Massima			Minima					
	2013	ref.	variazione	2013	ref.	variazione	2013	ref.	variazione	2013	ref.	variazione	2013	ref.	variazione
BOLZANO	17,0	23,1	-6,1	15,0	19,3	-4,2	18,9	23,9	-5,0	11,1	13,9	-2,8	7,4	10,2	-2,8
TORINO	14,7	21,5	-6,8	13,3	18,4	-5,1	16,6	21,9	-5,3	10,2	14,8	-4,7	6,8	11,8	-5,0
MILANO	16,9	24,5	-7,6	14,8	20,5	-5,7	18,3	24,5	-6,2	11,9	16,5	-4,6	9,1	13,0	-3,9
BRESCIA	16,1	23,5	-7,4	15,0	20,2	-5,2	17,7	24,5	-6,8	11,8	15,8	-4,0	9,4	12,1	-2,7
VERONA	17,1	23,9	-6,8	15,5	20,1	-4,6	18,7	24,3	-5,7	12,0	15,6	-3,6	9,4	12,8	-3,4
VENEZIA	17,2	22,6	-5,5	15,4	19,6	-4,2	18,0	22,4	-4,4	12,6	16,7	-4,1	10,6	13,7	-3,0
TRIESTE	17,2	22,5	-5,4	15,7	19,9	-4,2	17,9	22,5	-4,6	13,5	17,2	-3,6	9,8	11,9	-2,1
GENOVA	16,6	22,8	-6,1	15,6	19,9	-4,3	17,7	21,8	-4,1	13,7	18,1	-4,4	9,5	14,2	-4,6
BOLOGNA	18,3	23,8	-5,5	16,2	20,7	-4,6	19,9	24,2	-4,4	13,1	16,8	-3,7	8,6	12,2	-3,6
FIRENZE	17,6	24,2	-6,6	15,5	20,2	-4,7	19,0	24,7	-5,7	12,3	15,7	-3,4	10,1	12,3	-2,2
ANCONA	18,1	23,2	-5,2	15,8	19,4	-3,7	18,9	22,8	-3,9	12,6	15,9	-3,3	10,6	13,6	-3,0
PERUGIA	15,5	22,8	-7,3	14,3	19,2	-4,9	16,5	23,5	-7,0	11,4	13,3	-1,8	10,3	11,5	-1,2
ROMA	18,3	23,9	-5,6	16,4	19,4	-3,0	19,3	24,0	-4,7	13,8	15,1	-1,4	11,4	13,1	-1,7
VITERBO	15,2	22,8	-7,6	13,8	19,0	-5,1	16,7	23,1	-6,4	10,6	14,3	-3,7	8,6	12,1	-3,5
RIETI	16,3	22,2	-5,9	16,4	20,8	-4,4	17,6	22,8	-5,2	-	14,0	-	9,3	12,0	-2,7
CIVITAVECCHIA	18,6	24,4	-5,7	17,4	20,4	-3,0	18,8	22,2	-3,4	16,1	18,0	-1,9	12,6	16,5	-3,9
FROSINONE	16,7	24,1	-7,4	15,7	19,6	-3,9	18,0	24,3	-6,3	13,2	14,1	-1,0	9,5	12,8	-3,3
LATINA	19,4	25,0	-5,6	17,4	20,2	-2,7	20,0	24,3	-4,2	14,1	15,6	-1,5	11,8	14,3	-2,6
PESCARA	20,1	22,8	-2,7	17,2	18,9	-1,7	20,9	22,7	-1,7	13,8	15,1	-1,2	9,1	12,9	-3,7
CAMPOBASSO	14,3	18,5	-4,2	12,8	16,5	-3,7	15,8	19,9	-4,0	10,1	13,5	-3,4	8,1	9,1	-1,0
NAPOLI	20,4	24,0	-3,6	18,2	20,3	-2,2	21,4	23,6	-2,2	15,3	17,5	-2,2	10,9	13,8	-2,8
CAGLIARI	19,3	24,0	-4,8	17,2	19,8	-2,7	20,8	24,2	-3,4	14,1	15,9	-1,7	9,5	13,3	-3,8
BARI	21,7	23,0	-1,3	19,1	19,8	-0,7	22,8	23,1	-0,3	15,5	16,5	-0,9	10,1	12,9	-2,8
REGGIOCALABRIA	21,8	24,1	-2,3	19,7	21,2	-1,5	22,5	23,8	-1,3	17,4	19,0	-1,6	11,2	14,2	-2,9
MESSINA	21,3	24,7	-3,4	19,2	21,1	-1,9	21,3	23,7	-2,4	17,2	19,0	-1,8	13,1	15,5	-2,3
PALERMO	21,1	23,8	-2,7	19,3	21,4	-2,1	21,5	23,9	-2,5	17,8	19,2	-1,4	11,9	13,0	-1,1
CATANIA	20,2	24,5	-4,3	18,2	20,1	-1,9	21,1	24,2	-3,1	15,0	16,6	-1,5	9,8	14,1	-4,3

* Il periodo di riferimento per ogni città si riferisce alla serie dei dati disponibili compresi tra il 1996 ed il 2011

Figura 2. Variazioni (differenza) tra i valori medi osservati nel periodo 15-31 maggio 2013 e il riferimento*





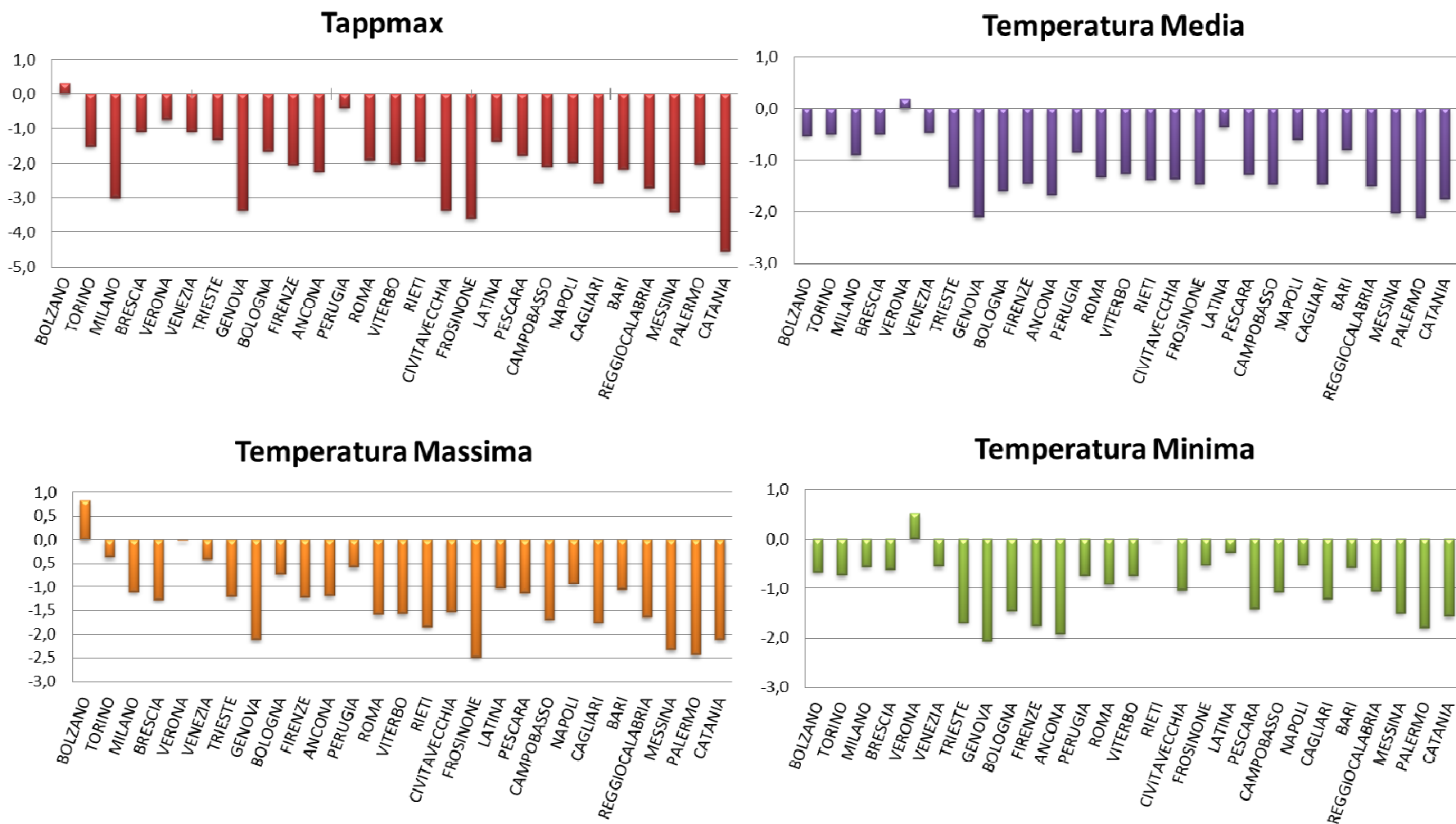
* Il periodo di riferimento per ogni città si riferisce alla serie dei dati disponibili compresi tra il 1996 ed il 2011

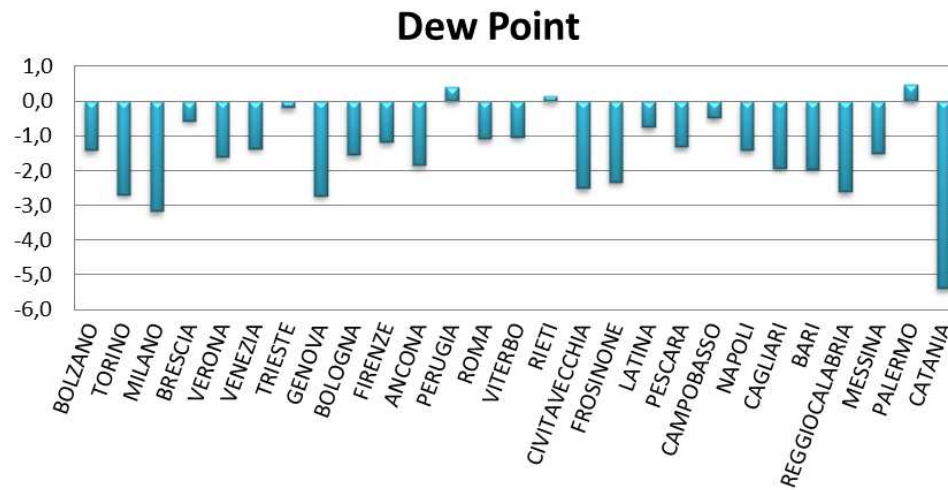
Tabella 4. Temperature osservate nel periodo 1-30 giugno 2013 e nel periodo di riferimento*

Città	Tappmax			Temperatura dell'aria									Dew point		
				Media			Massima			Minima					
	2013	ref.	variazione	2013	ref.	variazione	2013	ref.	variazione	2013	ref.	variazione	2013	ref.	variazione
BOLZANO	26,3	26,0	0,3	20,9	21,5	-0,5	26,6	25,7	0,8	15,9	16,5	-0,7	11,8	13,2	-1,4
TORINO	24,1	25,6	-1,5	20,6	21,1	-0,5	24,2	24,5	-0,4	16,7	17,4	-0,7	12,2	14,9	-2,7
MILANO	25,6	28,6	-3,0	22,3	23,2	-0,9	26,0	27,1	-1,1	18,7	19,3	-0,6	12,7	15,9	-3,2
BRESCIA	25,9	27,0	-1,1	22,5	22,9	-0,5	25,5	26,7	-1,3	18,0	18,6	-0,6	14,6	15,2	-0,6
VERONA	27,2	27,9	-0,7	23,1	22,9	0,2	27,0	27,0	0,0	19,2	18,7	0,5	14,6	16,2	-1,6
VENEZIA	25,5	26,6	-1,1	21,6	22,1	-0,5	24,6	25,0	-0,4	18,6	19,1	-0,5	15,1	16,4	-1,4
TRIESTE	25,6	26,9	-1,3	21,3	22,9	-1,5	24,2	25,4	-1,2	18,5	20,2	-1,7	14,8	15,0	-0,2
GENOVA	23,3	26,6	-3,4	20,3	22,4	-2,1	22,0	24,1	-2,1	18,7	20,7	-2,1	14,4	17,2	-2,7
BOLOGNA	26,1	27,7	-1,6	22,0	23,6	-1,6	26,2	26,9	-0,7	18,0	19,5	-1,5	13,2	14,7	-1,6
FIRENZE	26,1	28,1	-2,0	21,6	23,0	-1,4	26,3	27,5	-1,2	16,8	18,6	-1,8	13,7	14,8	-1,2
ANCONA	24,9	27,1	-2,2	20,9	22,6	-1,7	24,2	25,3	-1,2	17,2	19,2	-1,9	14,5	16,3	-1,8
PERUGIA	25,2	25,6	-0,4	21,2	22,0	-0,8	25,3	25,9	-0,6	15,4	16,2	-0,7	13,4	13,0	0,4
ROMA	26,2	28,1	-1,9	21,4	22,7	-1,3	25,8	27,4	-1,6	17,5	18,5	-0,9	14,3	15,4	-1,1
VITERBO	24,8	26,8	-2,0	21,0	22,3	-1,3	24,9	26,5	-1,6	16,7	17,4	-0,7	13,1	14,1	-1,0
RIETI	24,0	26,0	-1,9	22,8	24,1	-1,4	24,0	25,8	-1,8	-	16,6	-	13,6	13,5	0,2
CIVITAVECCHIA	25,2	28,6	-3,4	21,7	23,1	-1,4	23,2	24,7	-1,5	20,0	21,0	-1,0	16,7	19,2	-2,5
FROSINONE	24,5	28,0	-3,6	21,3	22,8	-1,5	24,7	27,2	-2,5	16,7	17,2	-0,5	13,1	15,4	-2,3
LATINA	28,0	29,4	-1,3	23,0	23,3	-0,4	26,4	27,4	-1,0	18,5	18,8	-0,3	16,3	17,0	-0,7
PESCARA	25,6	27,4	-1,8	20,9	22,2	-1,3	24,8	25,9	-1,1	16,8	18,2	-1,4	14,4	15,7	-1,3
CAMPOBASSO	20,4	22,5	-2,1	18,4	19,9	-1,5	21,7	23,4	-1,7	15,7	16,8	-1,1	10,5	10,9	-0,5
NAPOLI	26,4	28,4	-2,0	22,7	23,3	-0,6	25,7	26,6	-0,9	19,8	20,3	-0,5	15,0	16,4	-1,4
CAGLIARI	25,4	28,0	-2,6	21,5	22,9	-1,5	25,7	27,4	-1,8	17,6	18,8	-1,2	13,3	15,3	-1,9
BARI	25,2	27,3	-2,2	22,3	23,1	-0,8	25,1	26,2	-1,1	19,0	19,6	-0,6	13,5	15,4	-2,0
REGGIOCALABRIA	26,0	28,7	-2,7	23,1	24,6	-1,5	25,7	27,4	-1,6	21,1	22,2	-1,1	14,1	16,7	-2,6
MESSINA	26,4	29,8	-3,4	22,4	24,4	-2,0	24,8	27,2	-2,3	20,8	22,3	-1,5	17,0	18,5	-1,5
PALERMO	25,9	27,9	-2,0	22,5	24,6	-2,1	24,6	27,0	-2,4	20,6	22,4	-1,8	15,8	15,4	0,5
CATANIA	24,7	29,3	-4,5	21,6	23,4	-1,7	25,5	27,6	-2,1	18,1	19,6	-1,6	11,2	16,6	-5,4

* Il periodo di riferimento per ogni città si riferisce alla serie dei dati disponibili compresi tra il 1996 ed il 2011

Figura 3. Variazioni (differenza) tra i valori medi osservati nel periodo 1-30 giugno 2013 e il riferimento*





* Il periodo di riferimento per ogni città si riferisce alla serie dei dati disponibili compresi tra il 1996 ed il 2011

Tabella 5. Mortalità osservata e attesa, stima dell'eccesso osservato e della variazione percentuale nelle diverse città nel periodo 15-31 maggio 2013

Città	Decessi Totali	Decessi nella classe di età 65 e oltre				
		Osservati	Attesi	Osservati-Attesi	Variazione percentuale	p value
BOLZANO	36	32	36	-4	-11	0.48
TORINO	363	336	295	41	14	0.025
MILANO	524	468	406	62	15	0.004
BRESCIA	68	61	66	-5	-8	0.522
VERONA	122	101	85	16	19	0.111
VENEZIA	168	158	116	42	36	0.001
TRIESTE	101	96	116	-20	-17	0.041
GENOVA	337	302	287	15	5	0.388
BOLOGNA	171	156	157	-1	-1	0.936
FIRENZE	184	170	178	-8	-4	0.539
ANCONA	41	37	36	1	3	0.869
PERUGIA	51	44	57	-13	-23	0.050
ROMA	1037	893	835	58	7	0.052
VITERBO	32	29	18	11	61	0.041
RIETI	20	18	16	2	13	0.637
CIVITAVECCHIA	15	14	16	-2	-12	0.593
FROSINONE	23	21	11	10	91	0.029
LATINA	41	31	24	7	29	0.209
PESCARA	44	41	35	6	17	0.349
CAMPOBASSO	13	9	18	-9	-50	0.003
NAPOLI	374	313	345	-32	-9	0.07
CAGLIARI	46	35	52	-17	-33	0.004
BARI	100	86	92	-6	-7	0.518
REGGIOCALABRIA	63	51	63	-12	-19	0.093
MESSINA	108	99	85	14	16	0.159
PALERMO	230	183	191	-8	-4	0.554
CATANIA	-	-	-	-	-	-
AOSTA	11	11	15	-4	-27	0.228
TRENTO	28	23	32	-9	-28	0.061
PADOVA	86	77	87	-10	-11	0.254
POTENZA	27	23	19	4	21	0.404
TARANTO	63	56	58	-2	-3	0.789
CATANZARO	25	22	24	-2	-8	0.67

Tabella 6. Mortalità osservata e attesa, stima dell'eccesso osservato e della variazione percentuale nelle diverse città nel periodo 1-30 giugno 2013

Città	Decessi Totali	Decessi nella classe di età 65 e oltre				
		Osservati	Attesi	Osservati-Attesi	Variazione percentuale	p value
BOLZANO	96	88	58	30	52	0.001
TORINO	627	559	558	1	0	0.966
MILANO	923	854	728	126	17	<0.001
BRESCIA	143	132	125	7	6	0.542
VERONA	199	186	158	28	18	0.04
VENEZIA	257	237	203	34	17	0.027
TRIESTE	198	179	182	-3	-2	0.823
GENOVA	650	588	512	76	15	0.002
BOLOGNA	305	279	288	-9	-3	0.59
FIRENZE	327	302	282	20	7	0.25
ANCONA	81	74	69	5	7	0.561
PERUGIA	109	103	97	6	6	0.554
ROMA	1900	1645	1524	121	8	0.003
VITERBO	44	39	38	1	3	0.873
RIETI	32	29	28	1	4	0.853
CMITAVECCHIA	36	32	25	7	28	0.216
FROSINONE	26	22	21	1	5	0.831
LATINA	49	44	42	2	5	0.763
PESCARA	79	74	68	6	9	0.485
CAMPOBASSO*	6	6	30	-	-	-
NAPOLI	689	578	617	-39	-6	0.105
CAGLIARI	99	79	83	-4	-5	0.653
BARI	142	126	154	-28	-18	0.013
REGGIOCALABRIA	115	97	107	-10	-9	0.31
MESSINA	176	150	158	-8	-5	0.514
PALERMO	347	289	338	-49	-14	0.004
CATANIA	-	-	-	-	-	-
AOSTA	30	28	27	1	4	0.850
TRENTO	72	65	57	8	14	0.321
PADOVA	190	178	156	22	14	0.099
POTENZA	50	47	36	11	31	0.109
TARANTO	103	92	105	-13	-12	0.175
CATANZARO	54	50	44	6	14	0.396

* A Campobasso la trasmissione dei dati giornalieri di mortalità è ferma al 10 giugno

4. Commenti

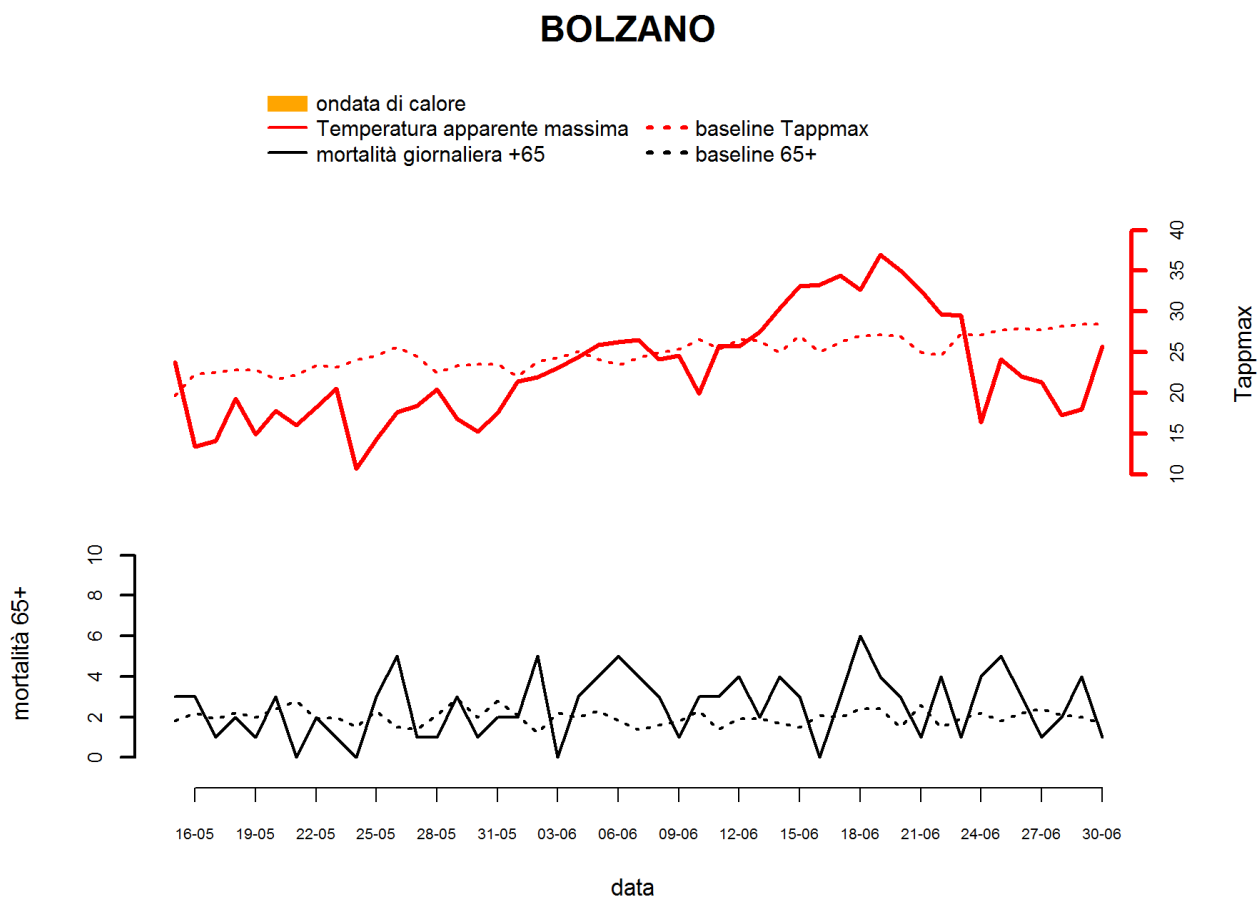
- Durante il mese di maggio non si sono verificati episodi di ondate di calore (tabella 1) e i valori sono stati inferiori alla media per tutti gli indicatori di temperatura (tabella 3 e figura 2).
- Il mese di giugno è stato caratterizzato da temperature inferiori a quelle osservate nel periodo di riferimento in particolare nella prima metà del mese in tutte le città (tabella 4 e figura 3). Solo per le città del Centro-Nord, a partire dal 15 giugno per circa una settimana, sono stati registrati innalzamenti della temperatura al di sopra delle medie del periodo.
- In concomitanza con l'incremento delle temperature, dal 15 al 21 giugno in diverse città i sistemi di allarme hanno previsto diversi giorni con condizioni di rischio di livello 2/3 (tabella 1 e 2, figura 1). L'ondata di calore è stata più prolungata nelle regioni settentrionali e, in alcune città, associata a livelli di temperatura elevati fino a 37-38°C a Bolzano, Brescia, Verona, Bologna. Nelle regioni centrali i livelli di rischio 2/3 sono stati osservati in diverse città solo a partire dal 18 giugno con condizioni di rischio persistenti per 4-5 giorni nelle città di Firenze, Perugia, Pescara e Roma.
- Per quanto riguarda l'analisi della mortalità giornaliera, nel mese di maggio si osservano incrementi di mortalità associati alle temperature mentre in alcune città sono stati osservati incrementi significativi della mortalità della popolazione di età maggiore o uguale a 65 anni non associati alla temperatura (tabella 5 e figure 1 - Appendice).
- Nel mese di giugno sono stati osservati incrementi significativi della mortalità della popolazione di età maggiore o uguale a 65 anni a Bolzano (+52%), Milano (+17%), Verona (+18%), Venezia (+17%), Genova (+15%) e Roma (+8%) (tabella 6). In queste città gli incrementi di mortalità non sembrano essere attribuibili al caldo in quanto si osservano per l'intero mese, anche nei periodi in cui le temperature sono state inferiori alle medie del periodo di riferimento (figure 1 - Appendice, tabella 4). Solo a Bolzano e Roma si osservano incrementi di mortalità nei giorni di ondata di calore.
- Tra le città che non dispongono di un sistema di allarme, a Trento e Padova sono da segnalare incrementi di mortalità probabilmente associati ad incrementi di temperatura (figure 1- Appendice).

Appendice

Risultati città specifici

Bolzano

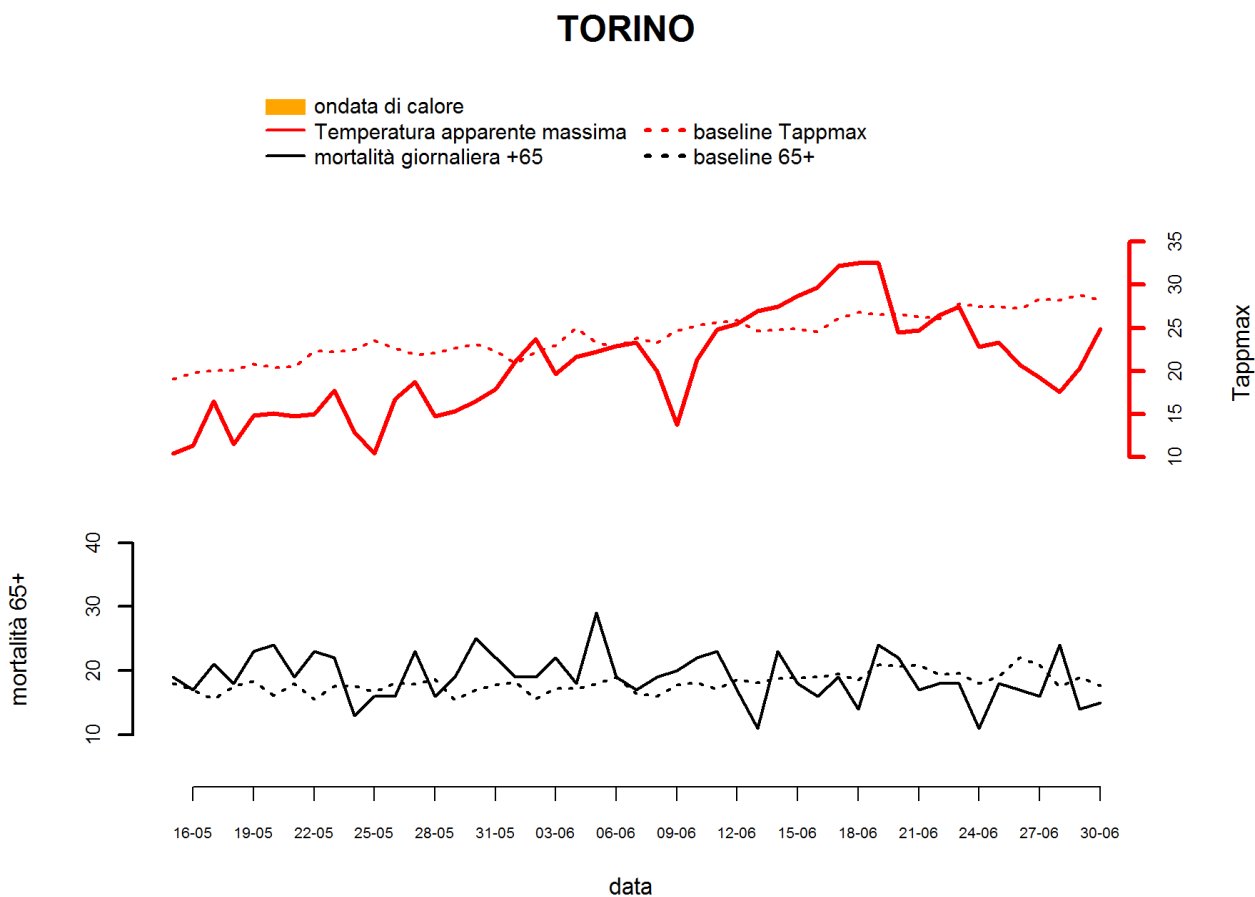
Figura 1. Andamento giornaliero della Temperatura apparente massima e del numero di decessi osservati e attesi nella classe di età 65 anni e oltre.





Torino

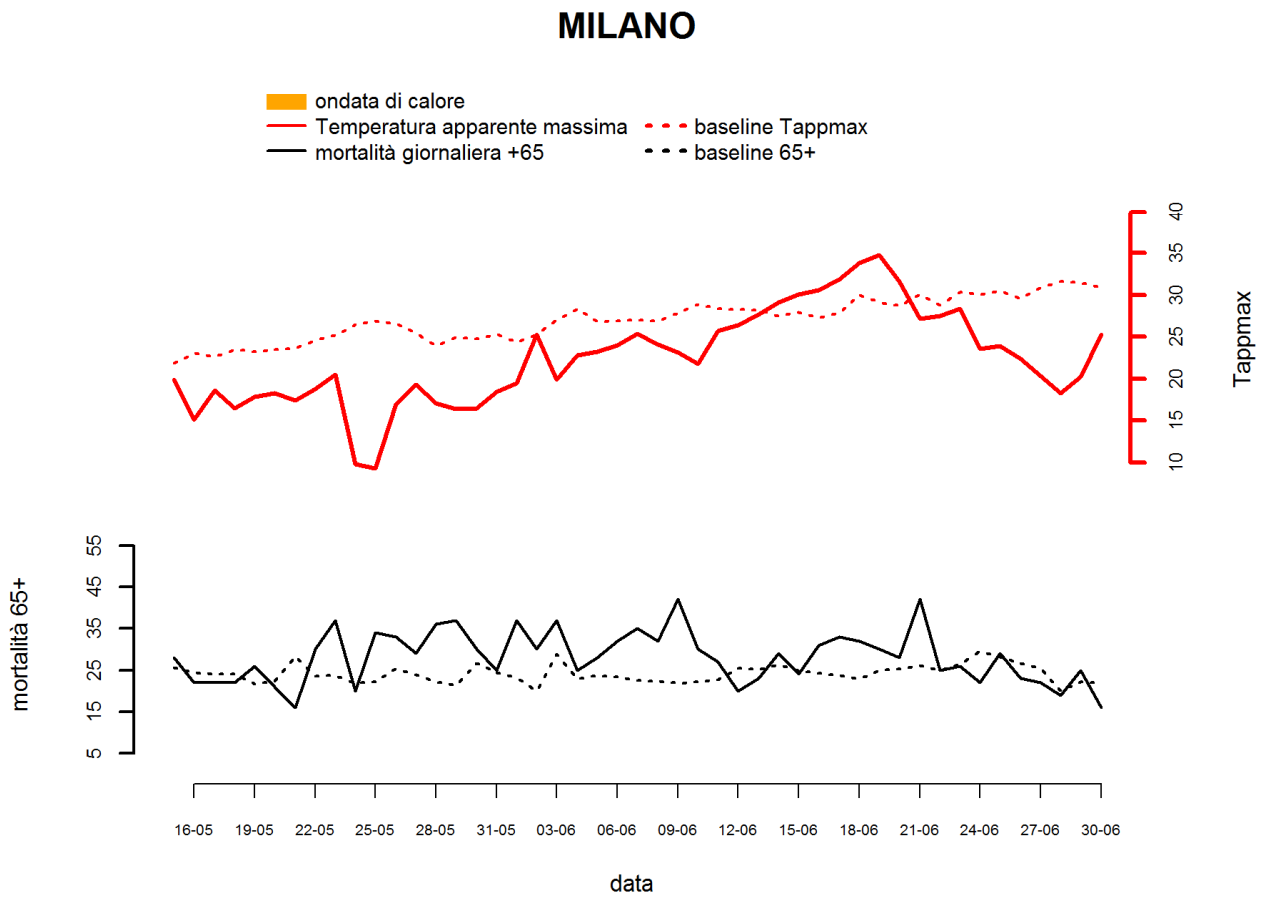
Figura 1. Andamento giornaliero della Temperatura apparente massima e del numero di decessi osservati e attesi nella classe di età 65 anni e oltre.





Milano

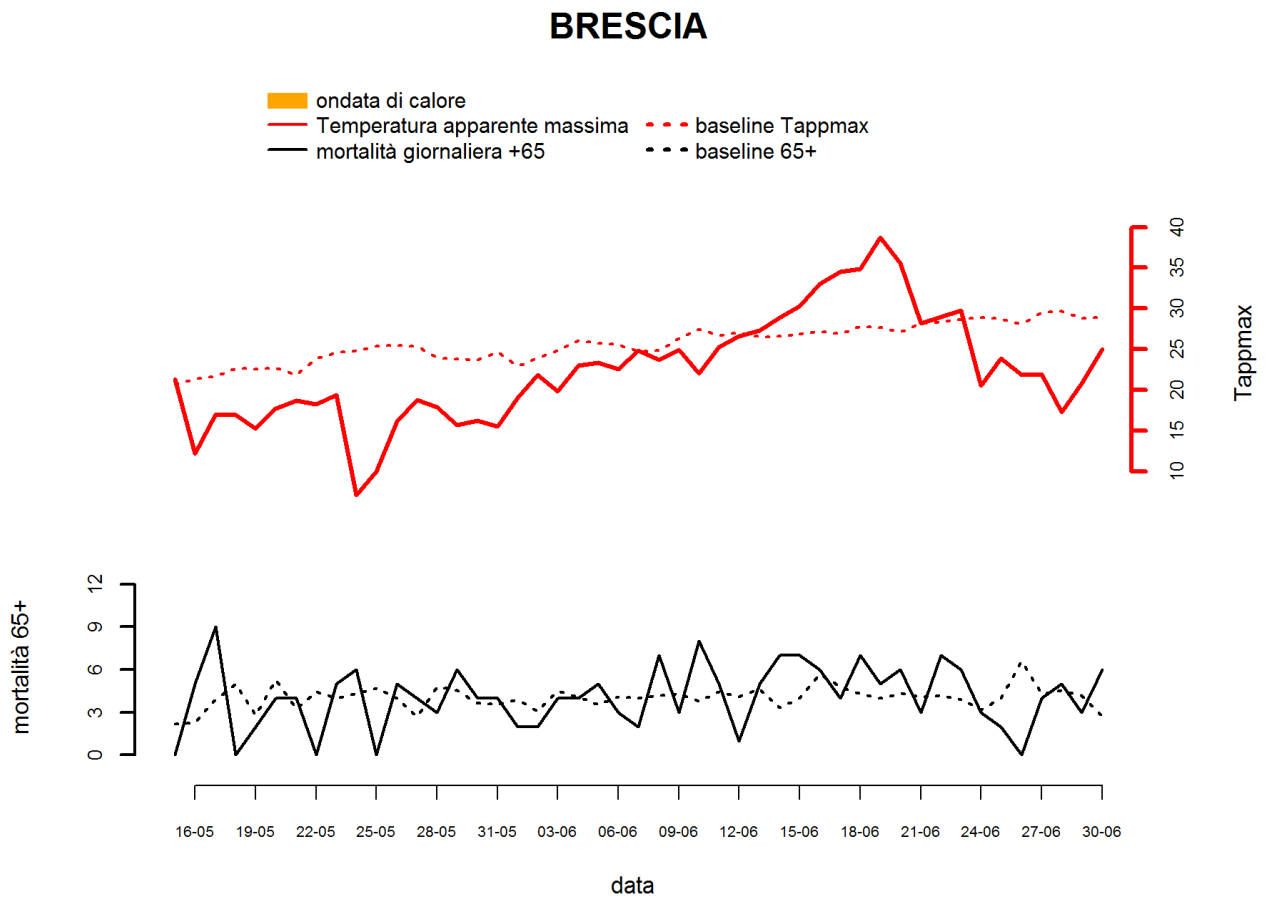
Figura 1. Andamento giornaliero della Temperatura apparente massima e del numero di decessi osservati e attesi nella classe di età 65 anni e oltre.





Brescia

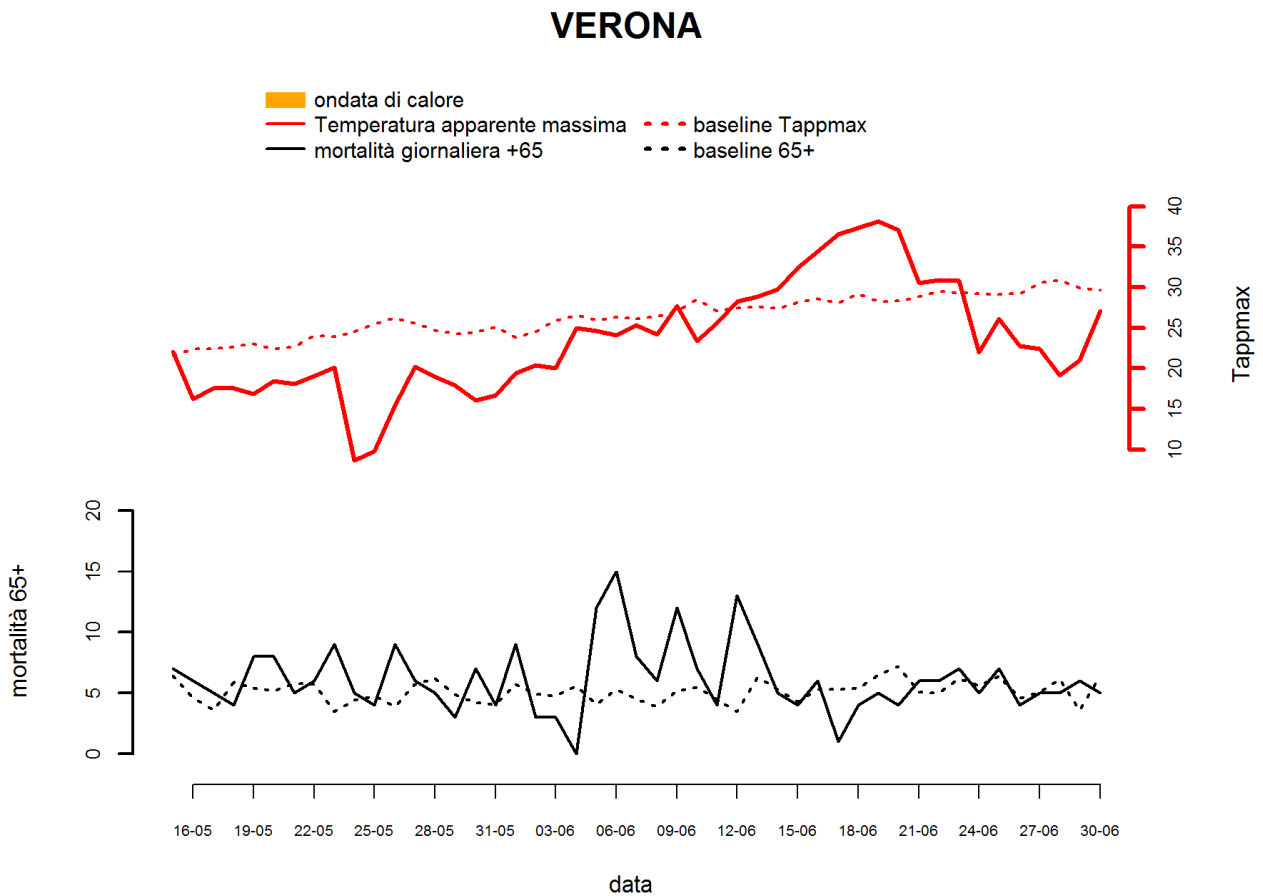
Figura 1. Andamento giornaliero della Temperatura apparente massima e del numero di decessi osservati e attesi nella classe di età 65 anni e oltre.





Verona

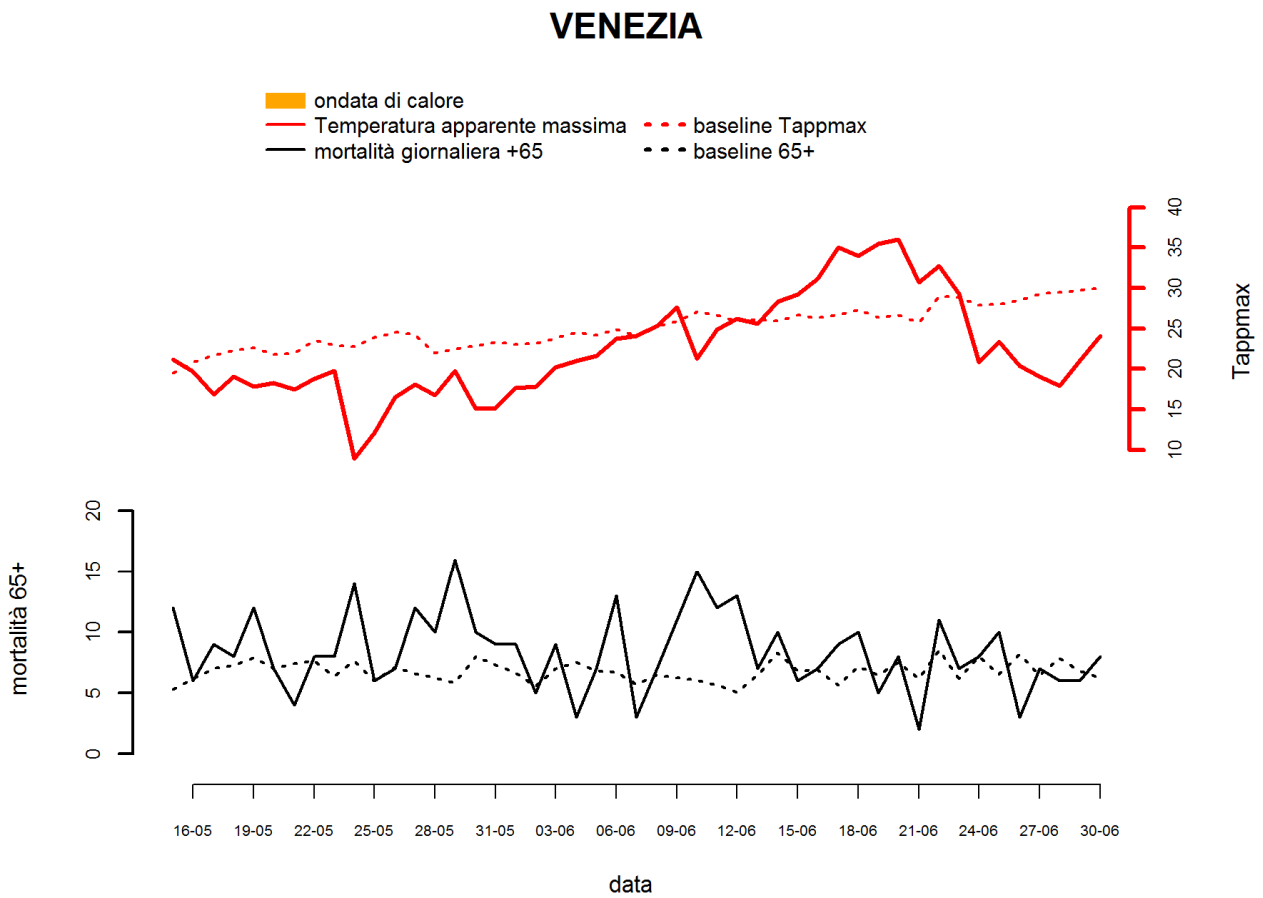
Figura 1. Andamento giornaliero della Temperatura apparente massima e del numero di decessi osservati e attesi nella classe di età 65 anni e oltre.





Venezia

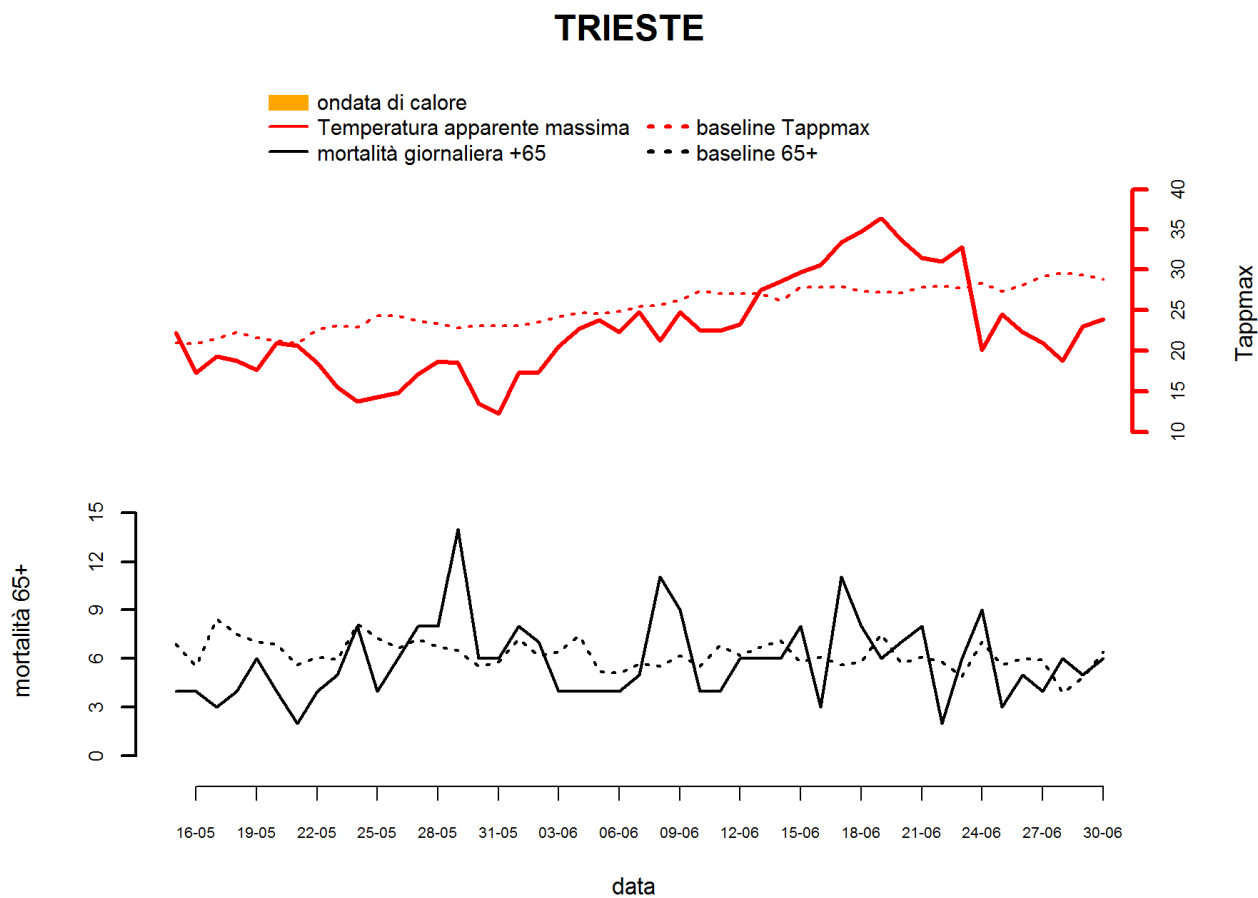
Figura 1. Andamento giornaliero della Temperatura apparente massima e del numero di decessi osservati e attesi nella classe di età 65 anni e oltre.





Trieste

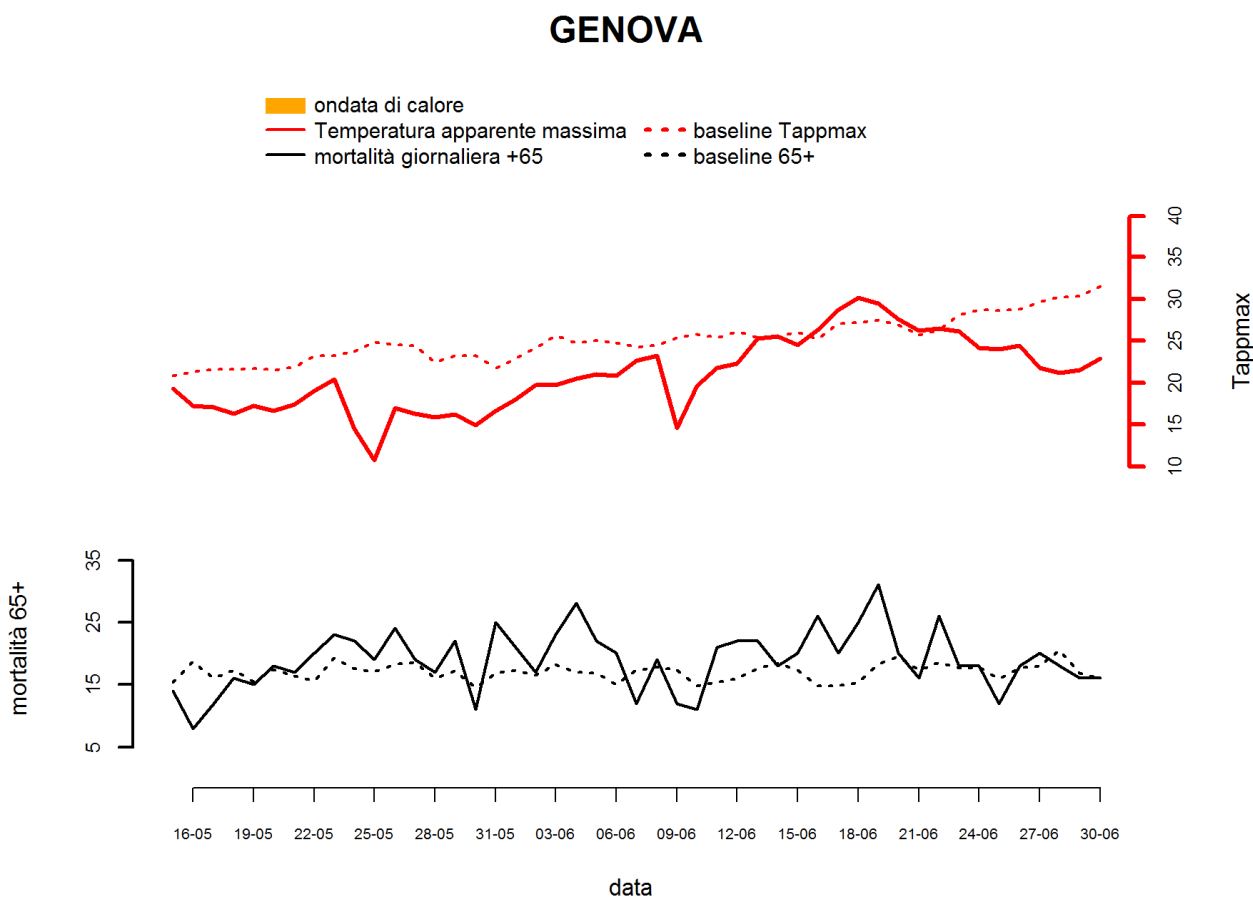
Figura 1. Andamento giornaliero della Temperatura apparente massima e del numero di decessi osservati e attesi nella classe di età 65 anni e oltre.





Genova

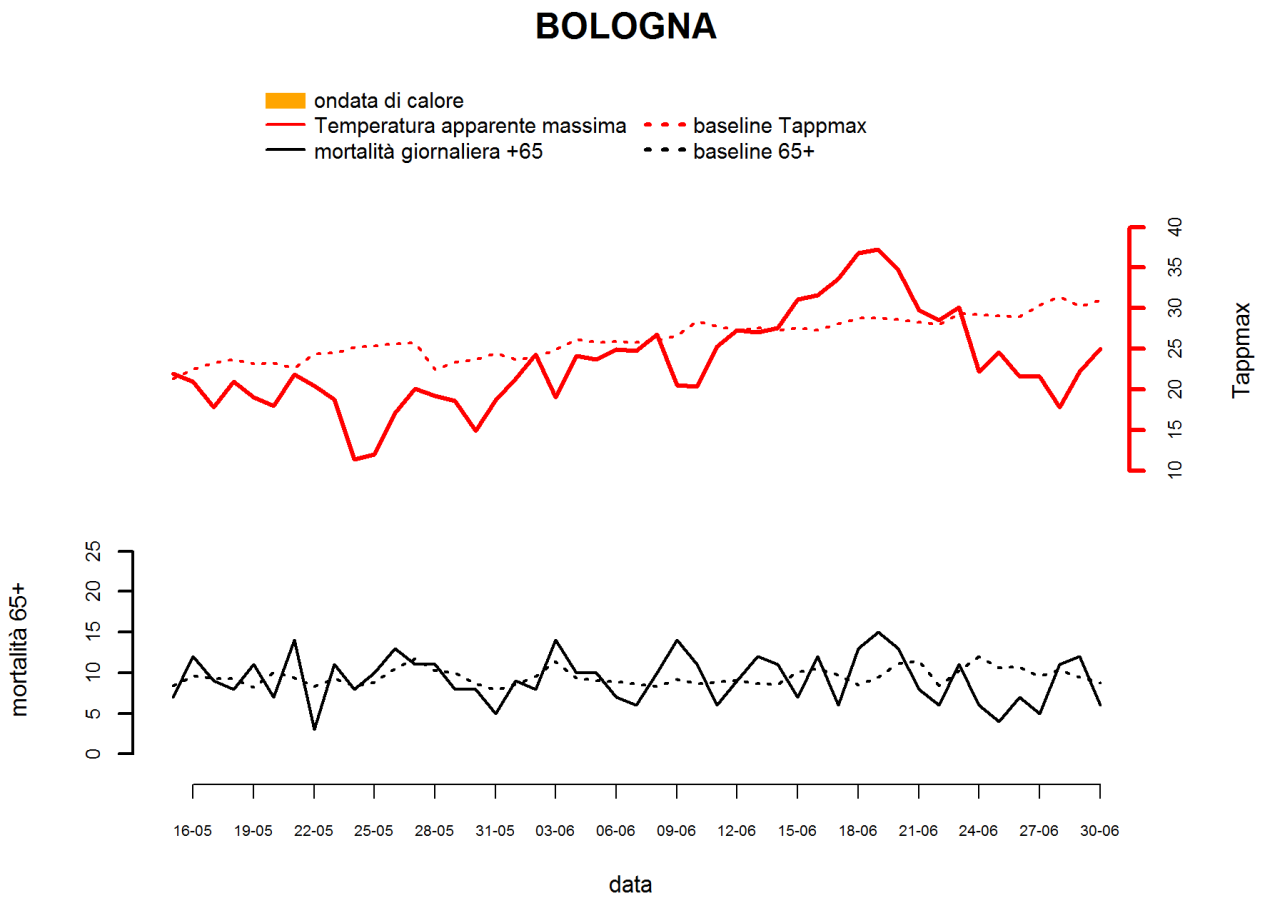
Figura 1. Andamento giornaliero della Temperatura apparente massima e del numero di decessi osservati e attesi nella classe di età 65 anni e oltre.





Bologna

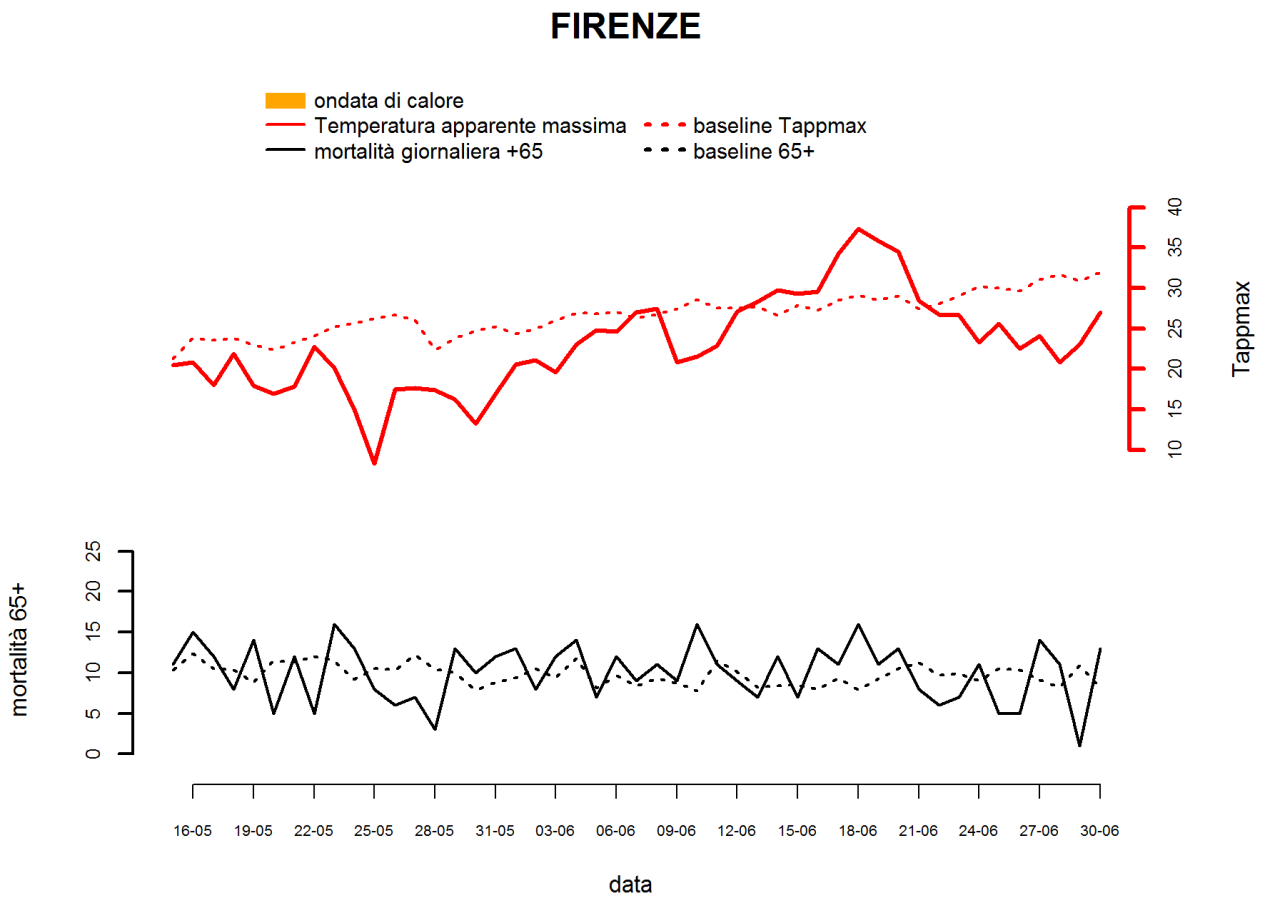
Figura 1. Andamento giornaliero della Temperatura apparente massima e del numero di decessi osservati e attesi nella classe di età 65 anni e oltre.





Firenze

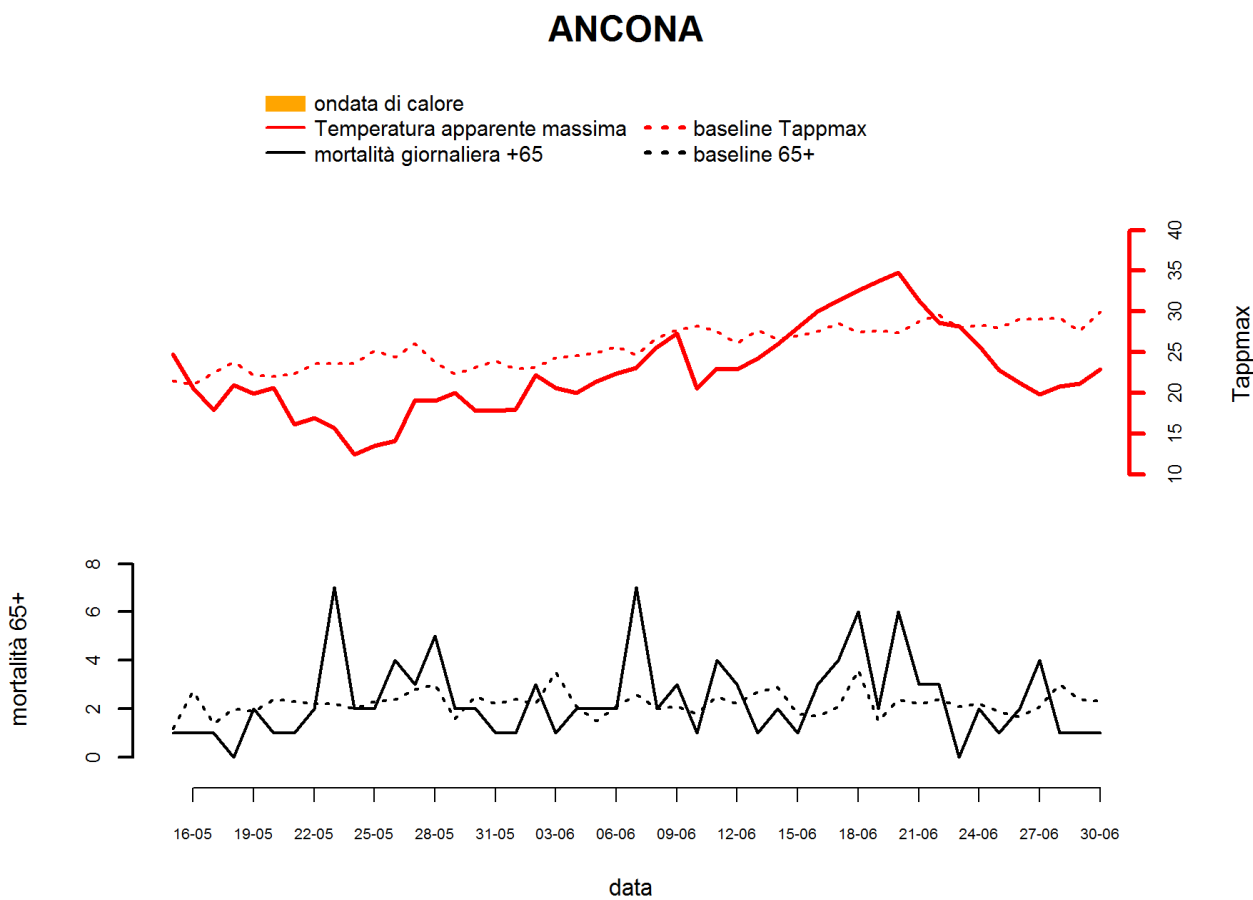
Figura 1. Andamento giornaliero della Temperatura apparente massima e del numero di decessi osservati e attesi nella classe di età 65 anni e oltre.





Ancona

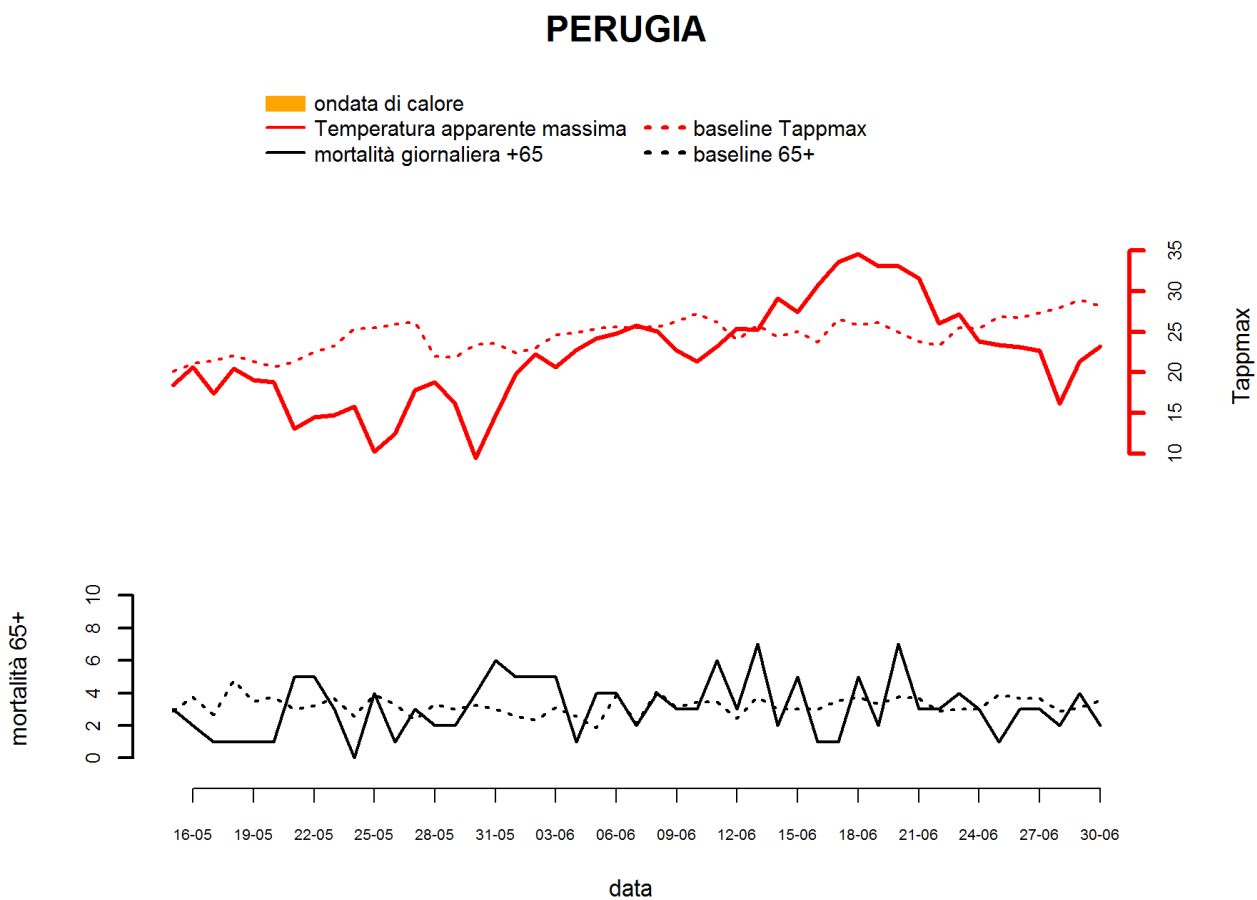
Figura 1. Andamento giornaliero della Temperatura apparente massima e del numero di decessi osservati e attesi nella classe di età 65 anni e oltre.





Perugia

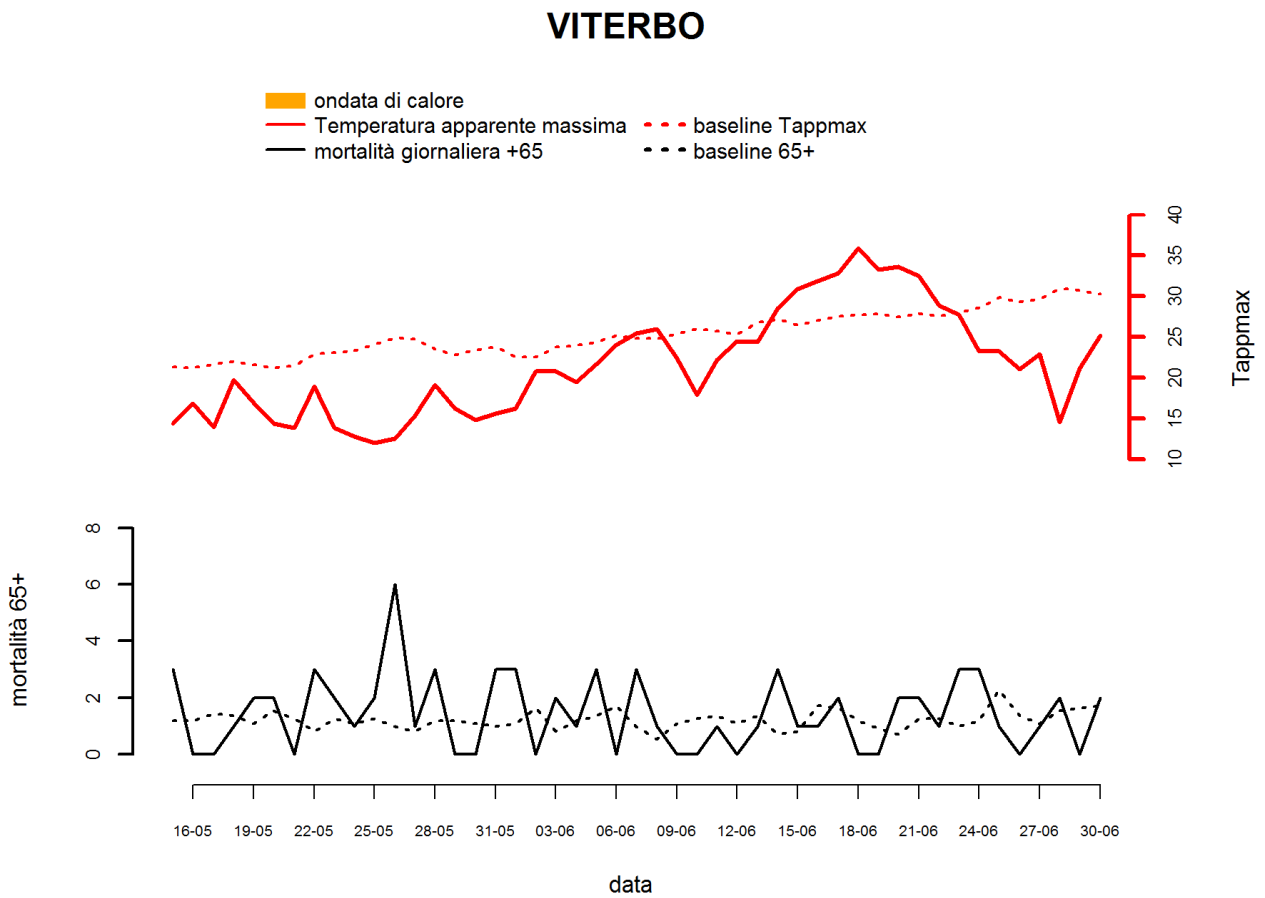
Figura 1. Andamento giornaliero della Temperatura apparente massima e del numero di decessi osservati e attesi nella classe di età 65 anni e oltre.





Viterbo

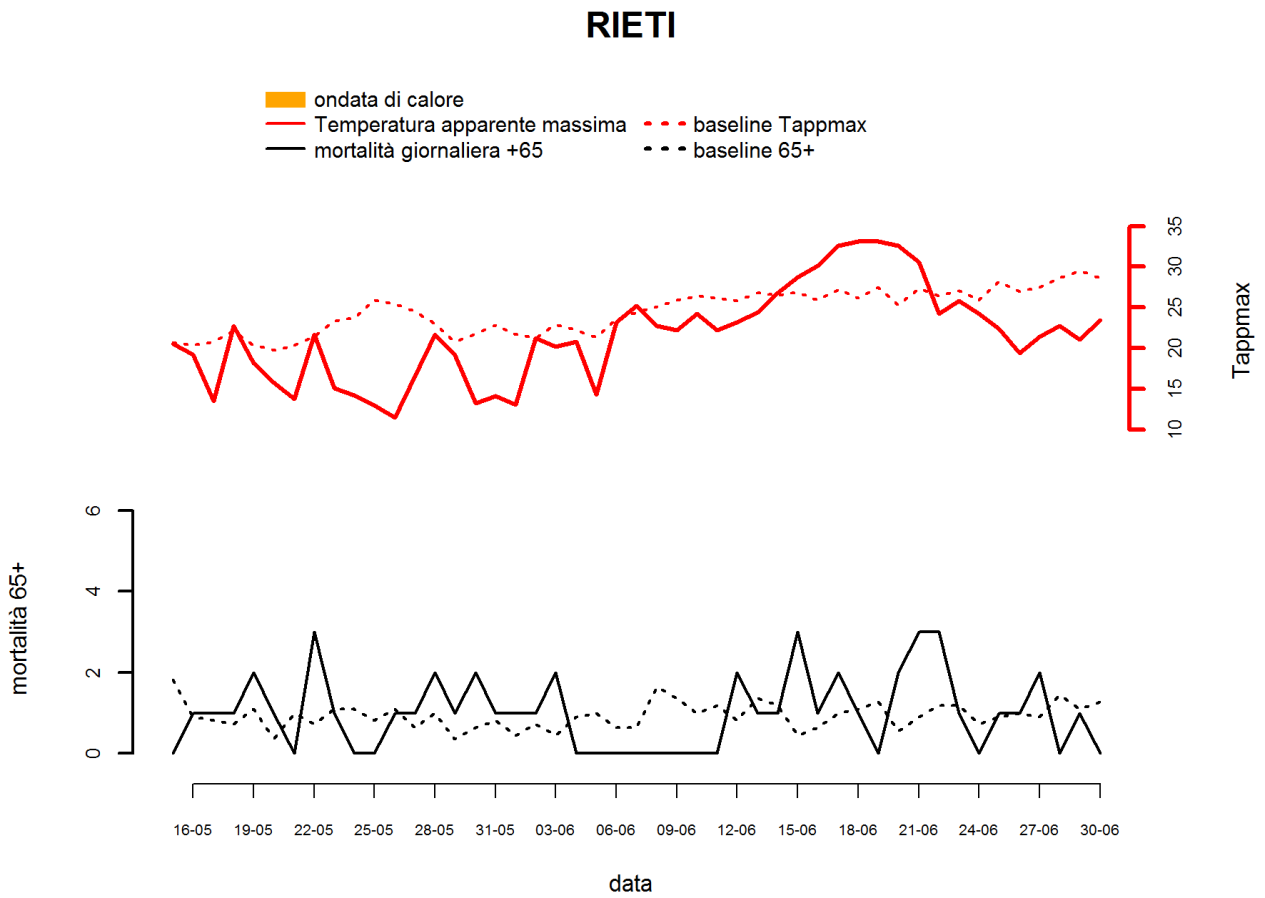
Figura 1. Andamento giornaliero della Temperatura apparente massima e del numero di decessi osservati e attesi nella classe di età 65 anni e oltre.





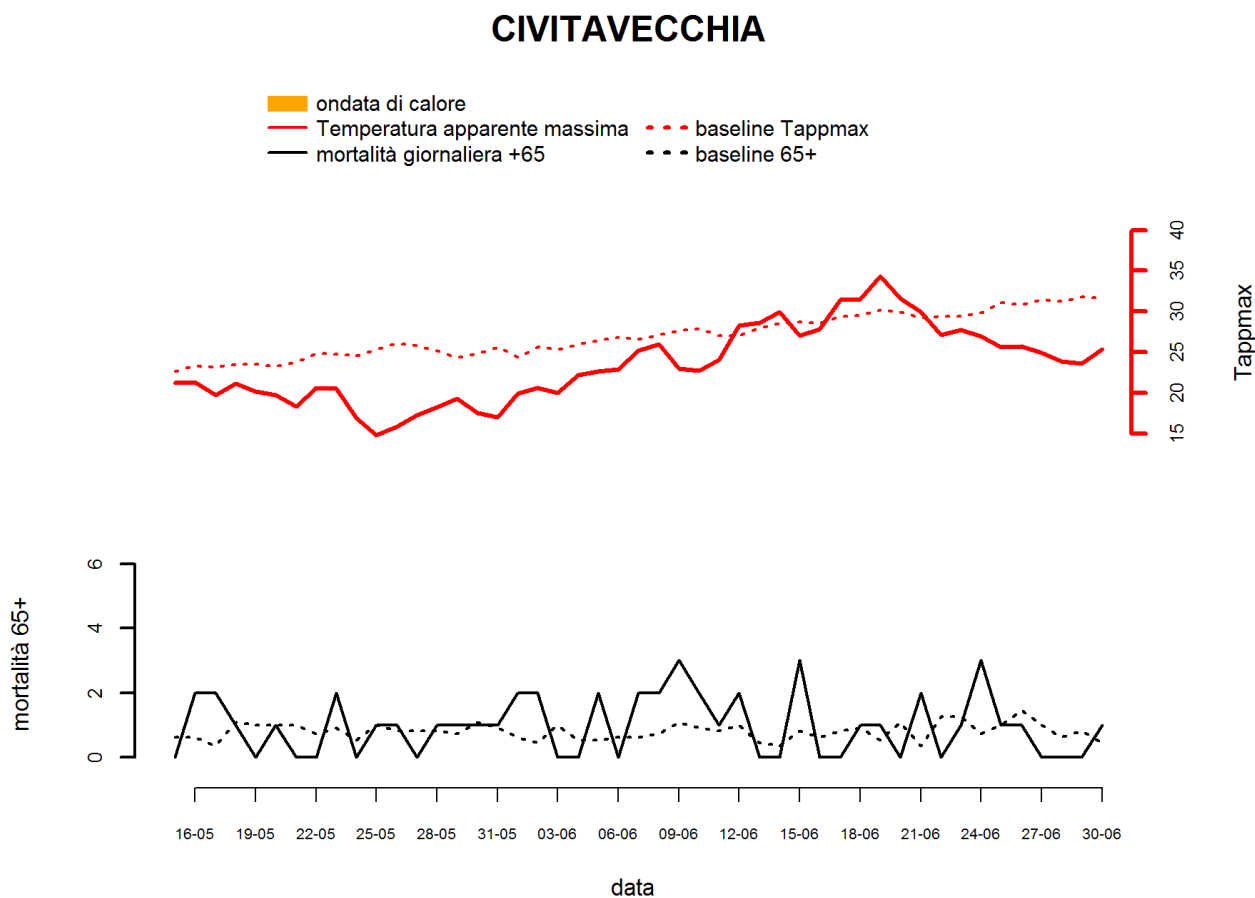
Rieti

Figura 1. Andamento giornaliero della Temperatura apparente massima e del numero di decessi osservati e attesi nella classe di età 65 anni e oltre.



Civitavecchia

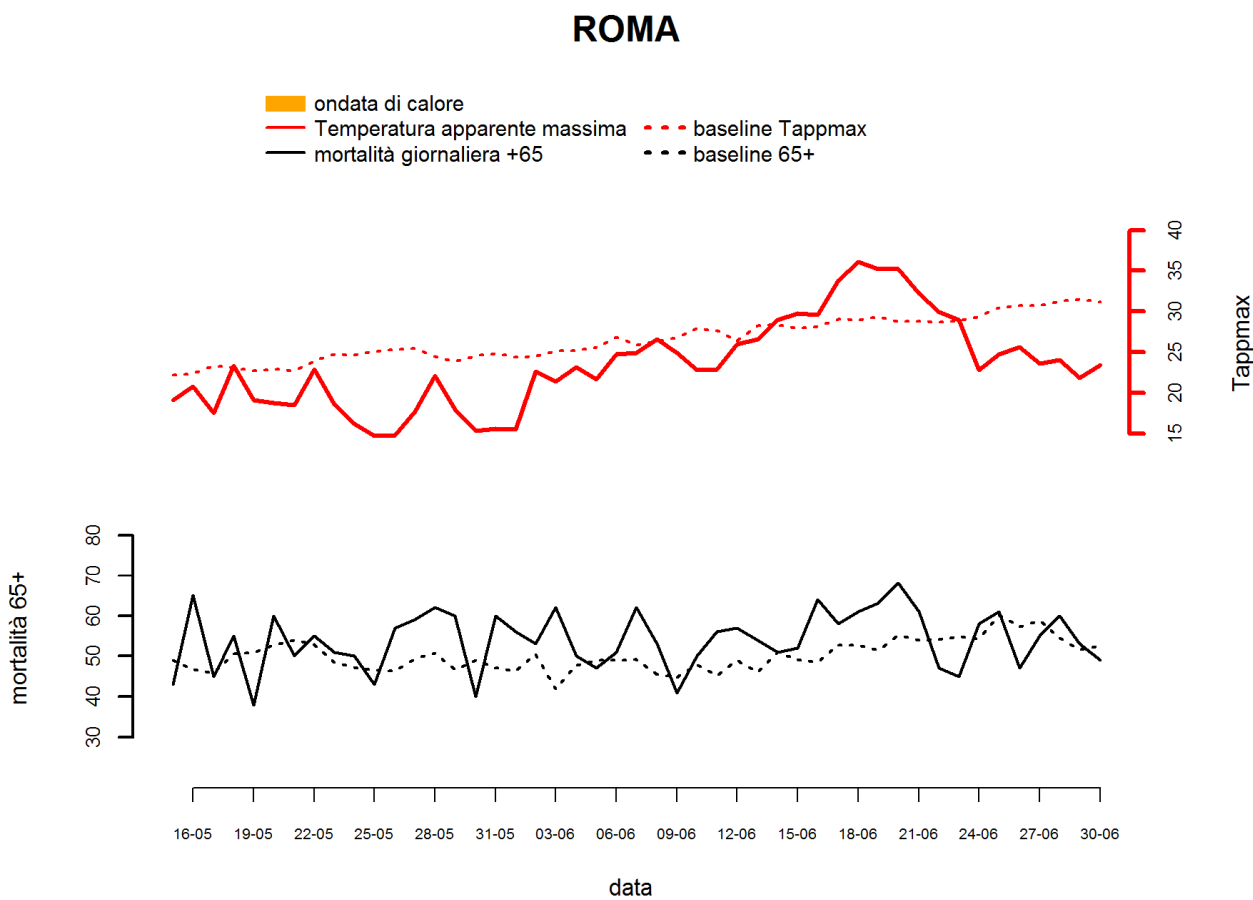
Figura 1. Andamento giornaliero della Temperatura apparente massima e del numero di decessi osservati e attesi nella classe di età 65 anni e oltre.





Roma

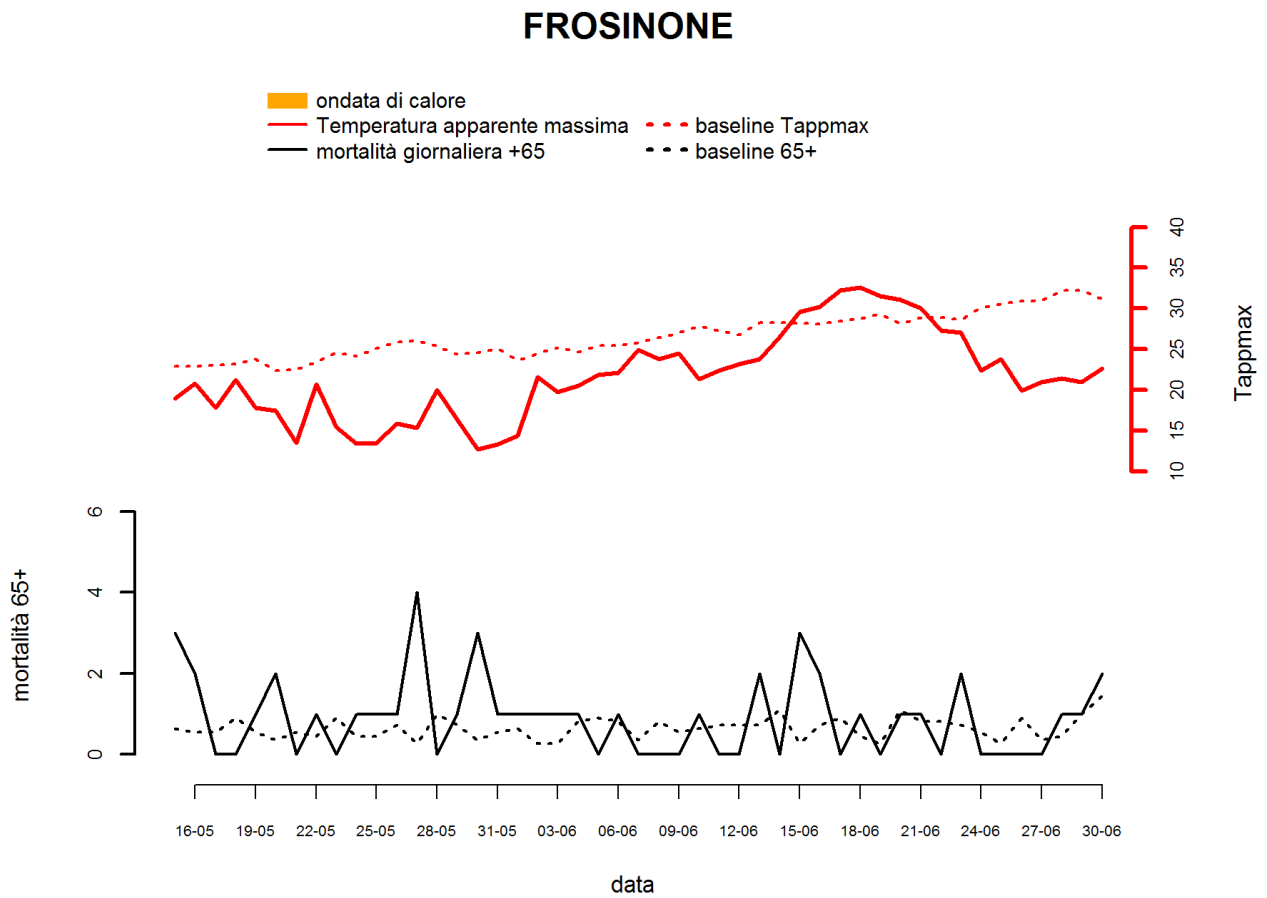
Figura 1. Andamento giornaliero della Temperatura apparente massima e del numero di decessi osservati e attesi nella classe di età 65 anni e oltre.





Frosinone

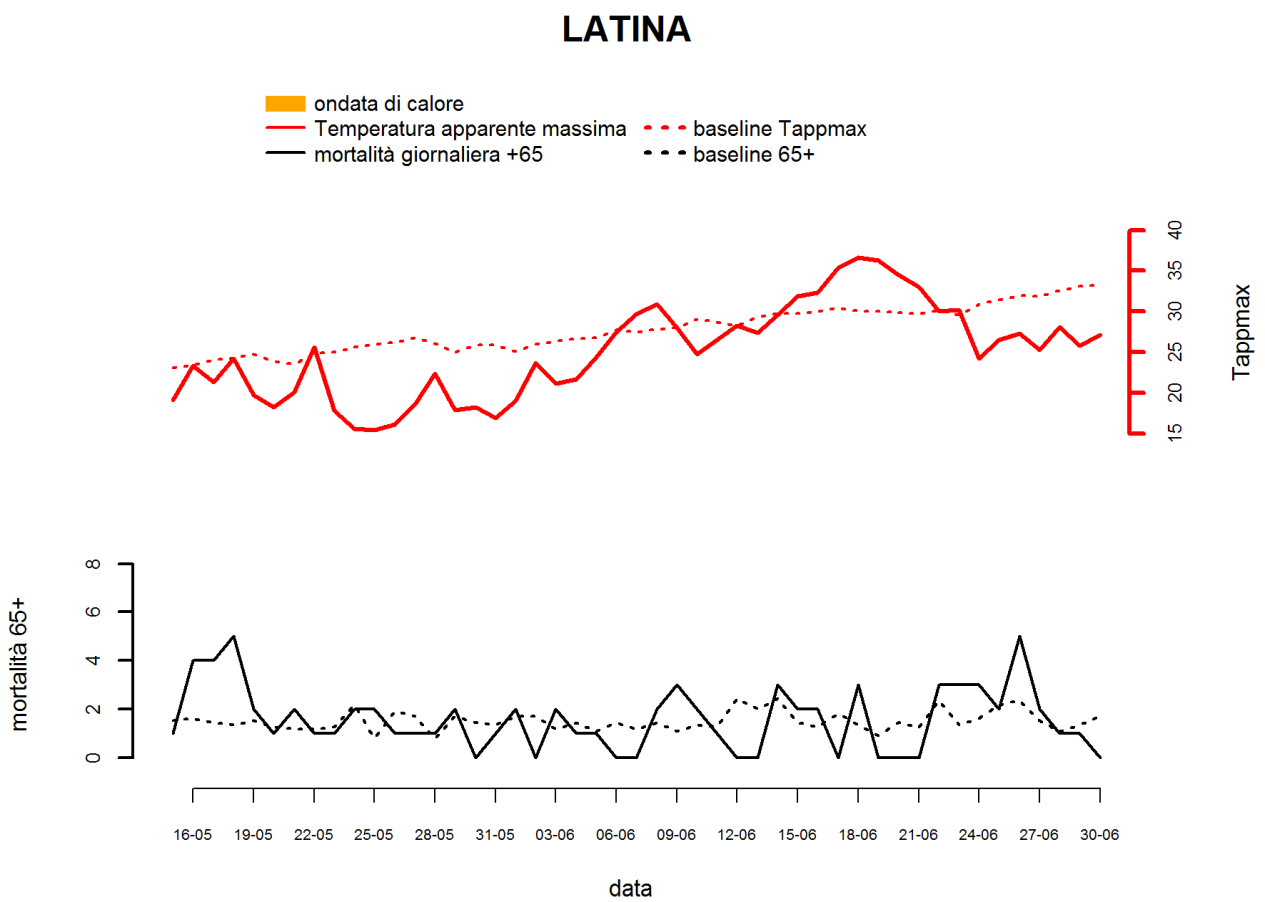
Figura 1. Andamento giornaliero della Temperatura apparente massima e del numero di decessi osservati e attesi nella classe di età 65 anni e oltre.





Latina

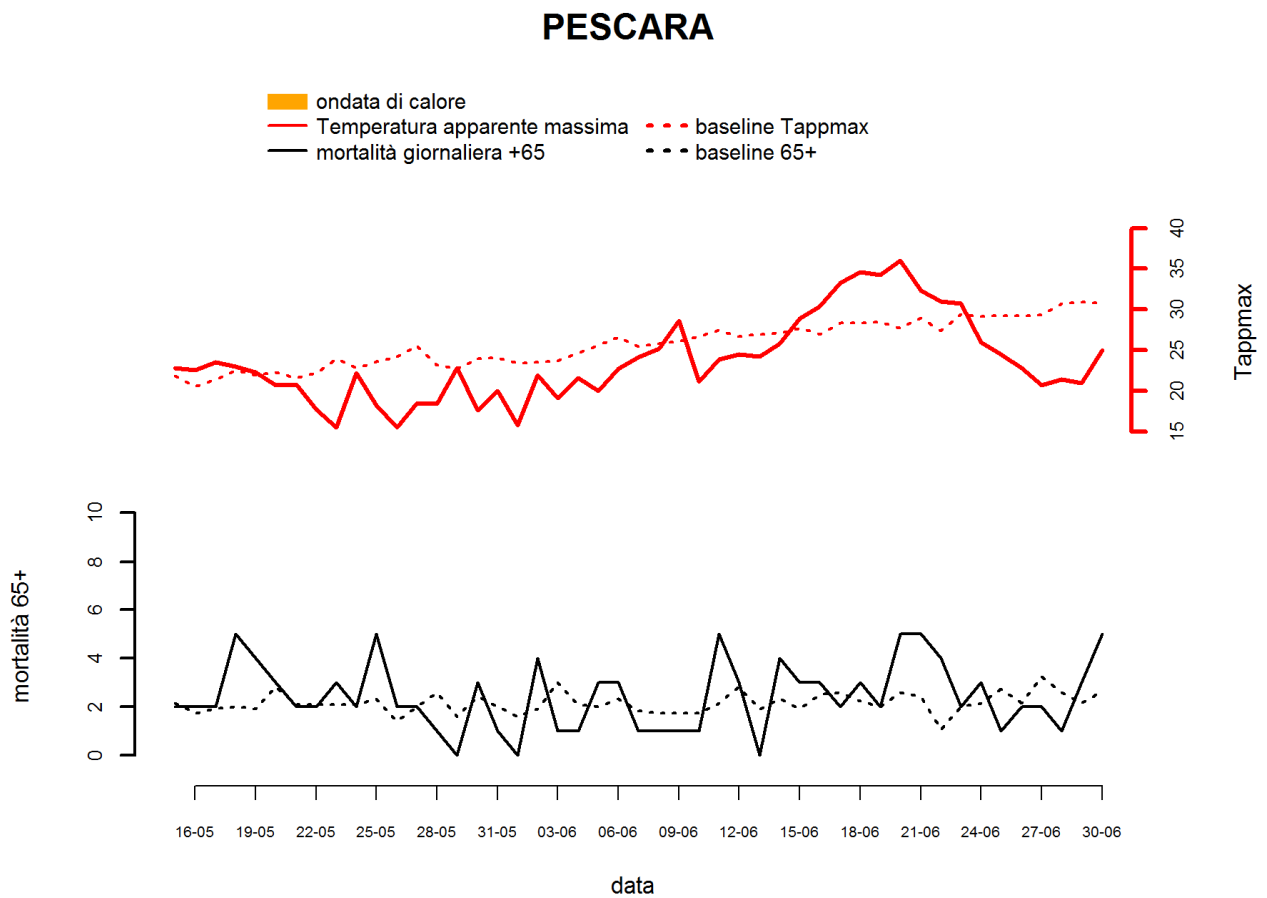
Figura 1. Andamento giornaliero della Temperatura apparente massima e del numero di decessi osservati e attesi nella classe di età 65 anni e oltre.





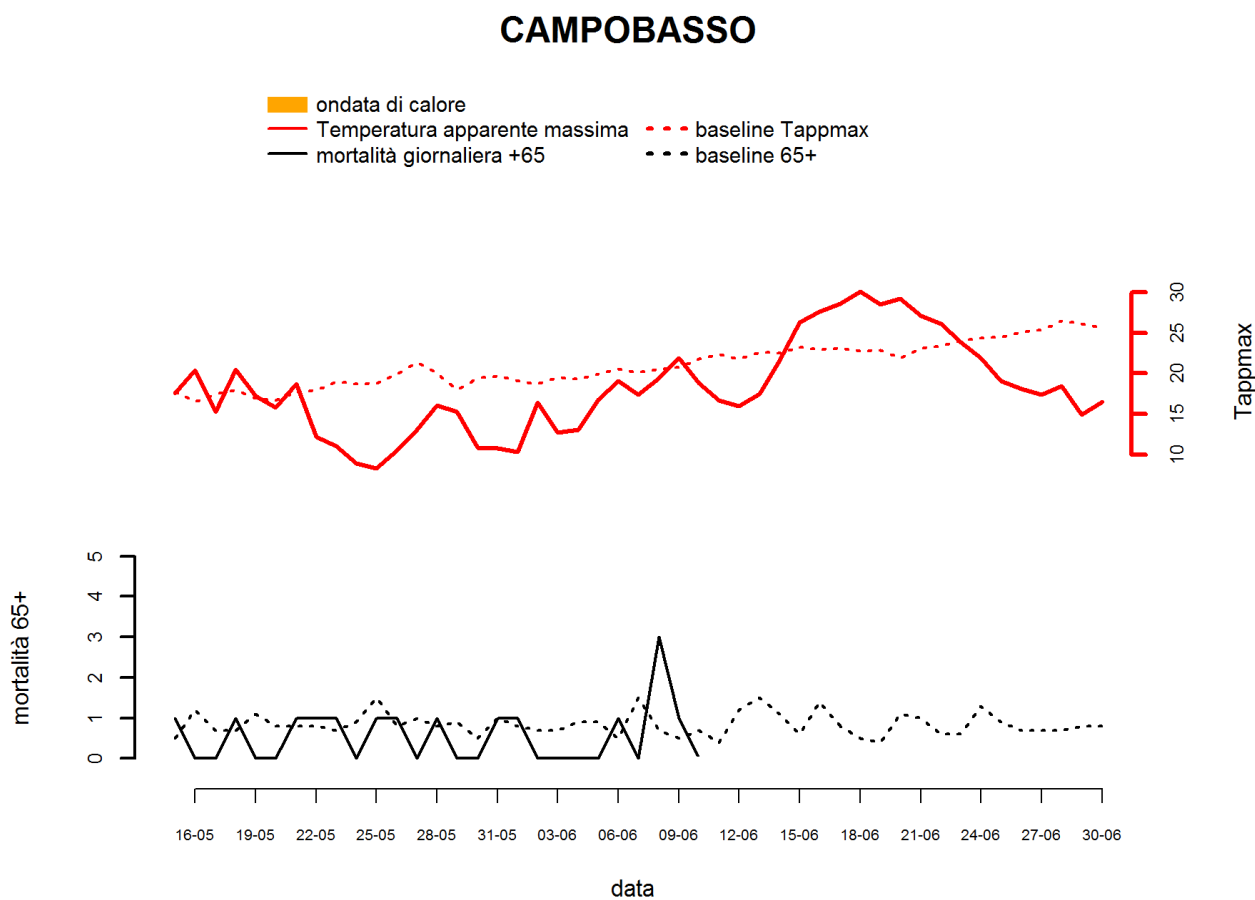
Pescara

Figura 1. Andamento giornaliero della Temperatura apparente massima e del numero di decessi osservati e attesi nella classe di età 65 anni e oltre.



Campobasso

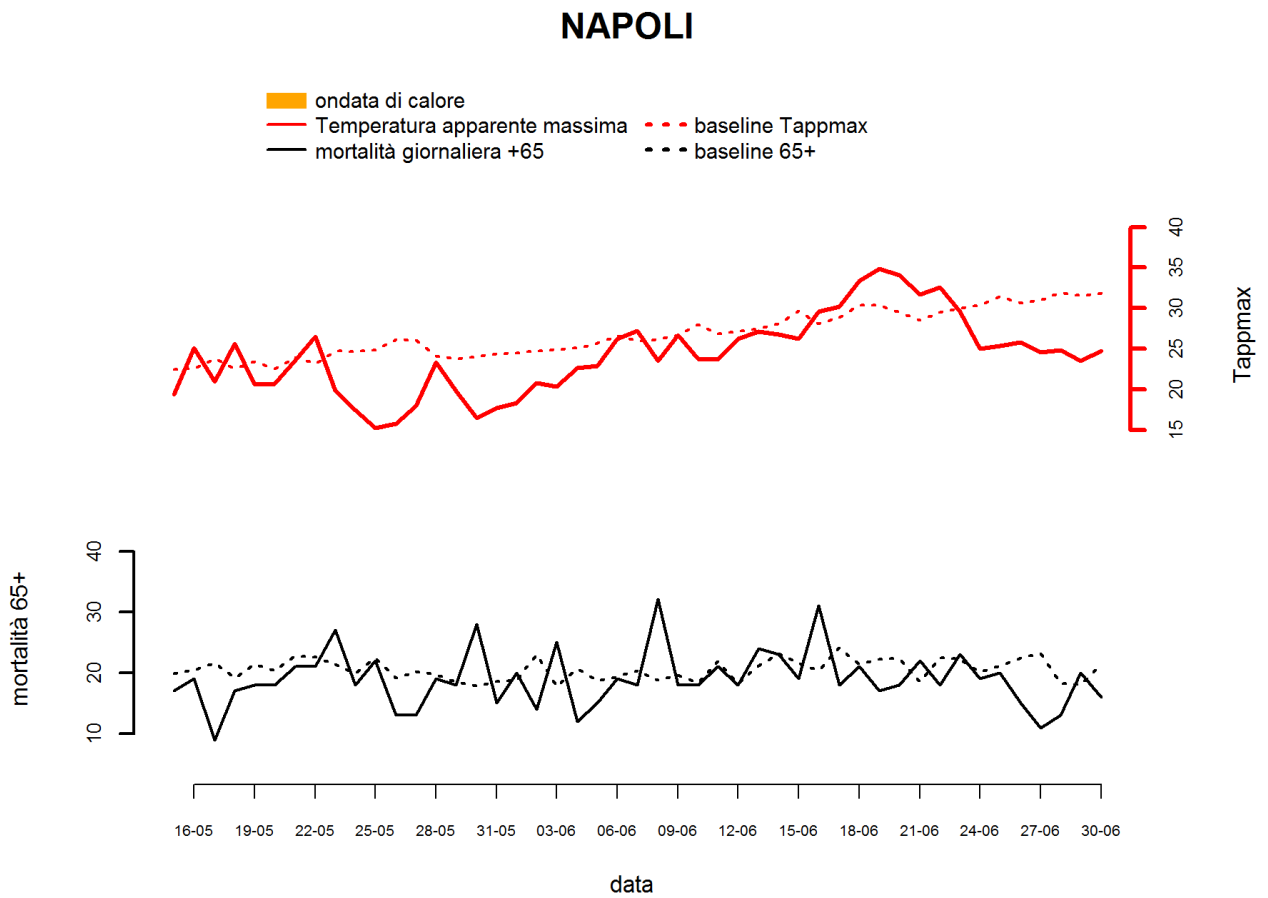
Figura 1. Andamento giornaliero della Temperatura apparente massima e del numero di decessi osservati e attesi nella classe di età 65 anni e oltre.





Napoli

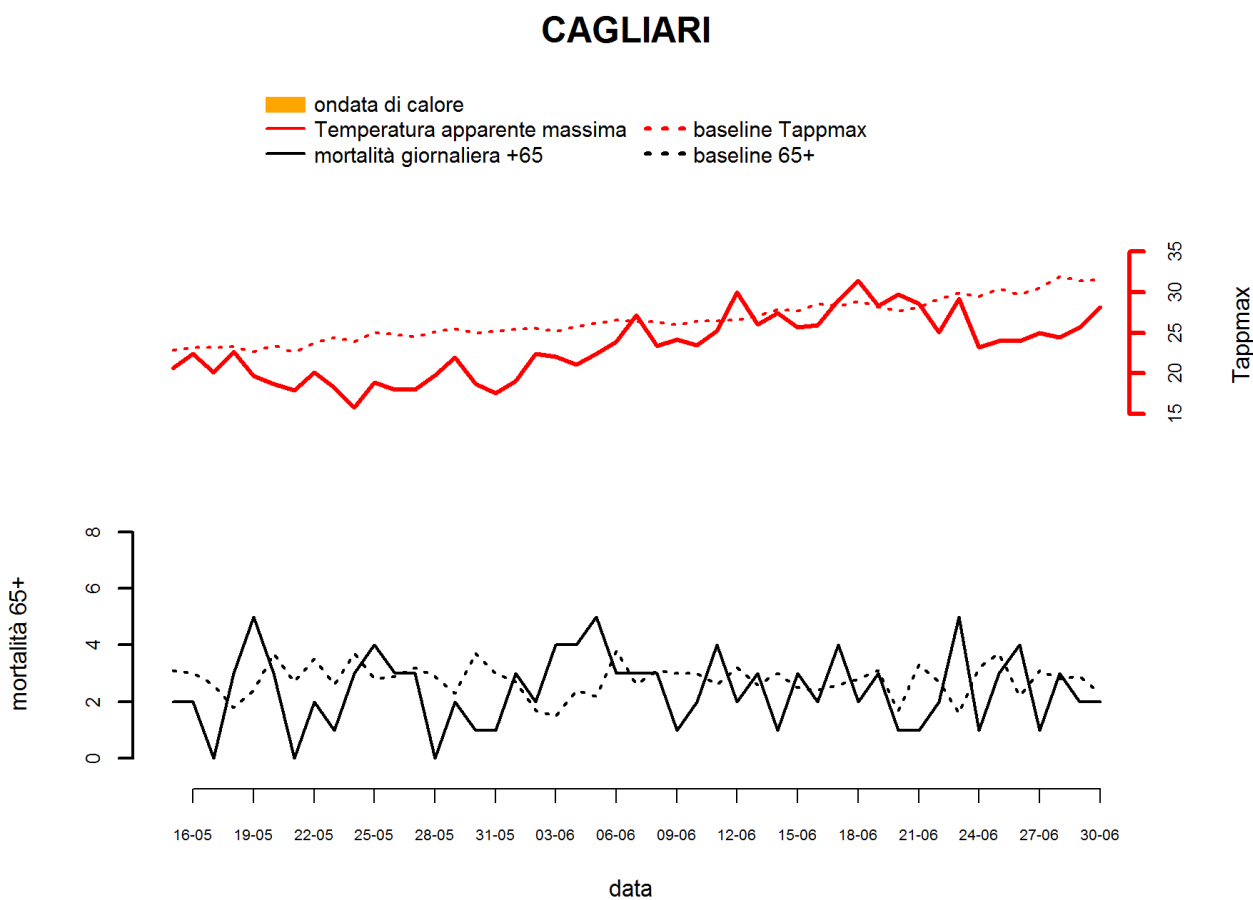
Figura 1. Andamento giornaliero della Temperatura apparente massima e del numero di decessi osservati e attesi nella classe di età 65 anni e oltre.





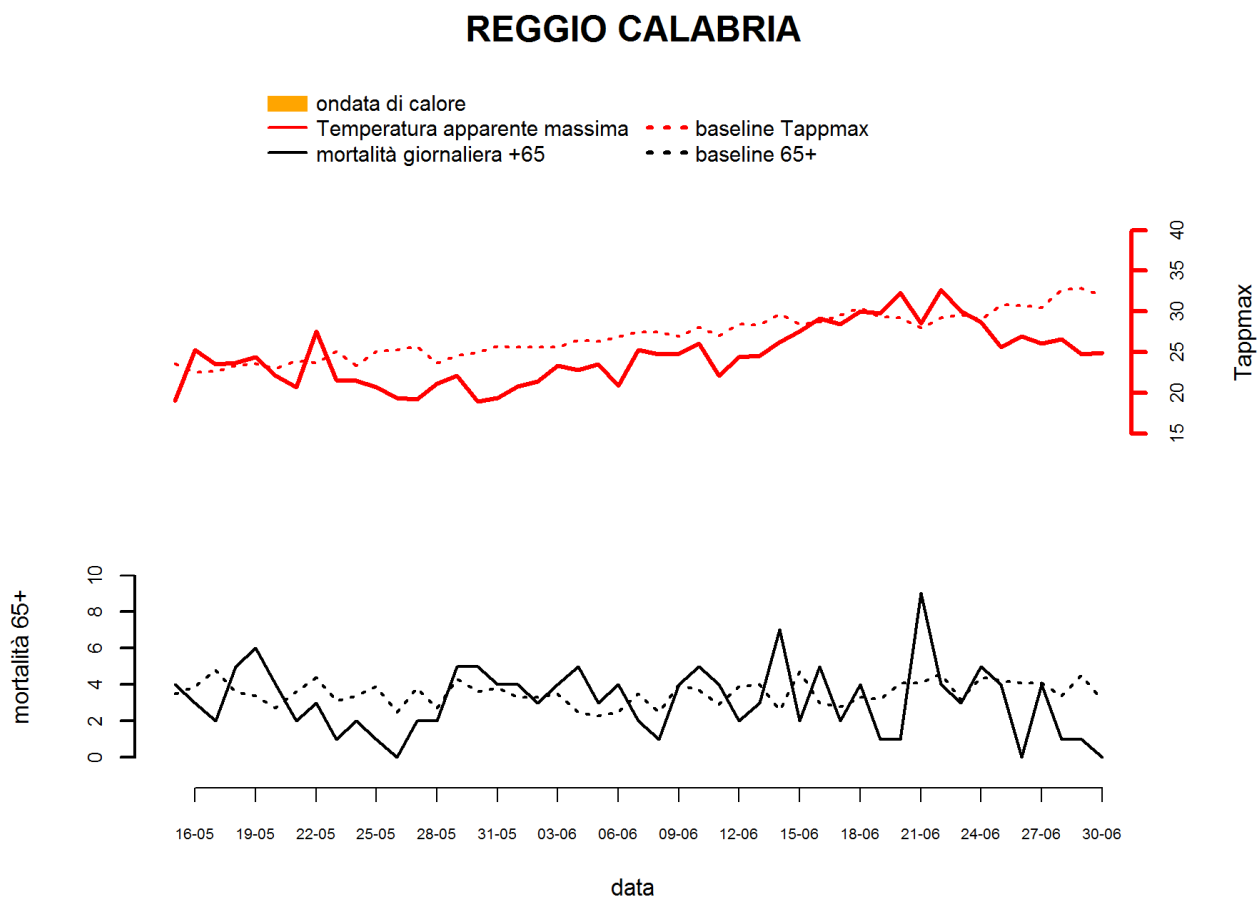
Cagliari

Figura 1. Andamento giornaliero della Temperatura apparente massima e del numero di decessi osservati e attesi nella classe di età 65 anni e oltre.



Reggio Calabria

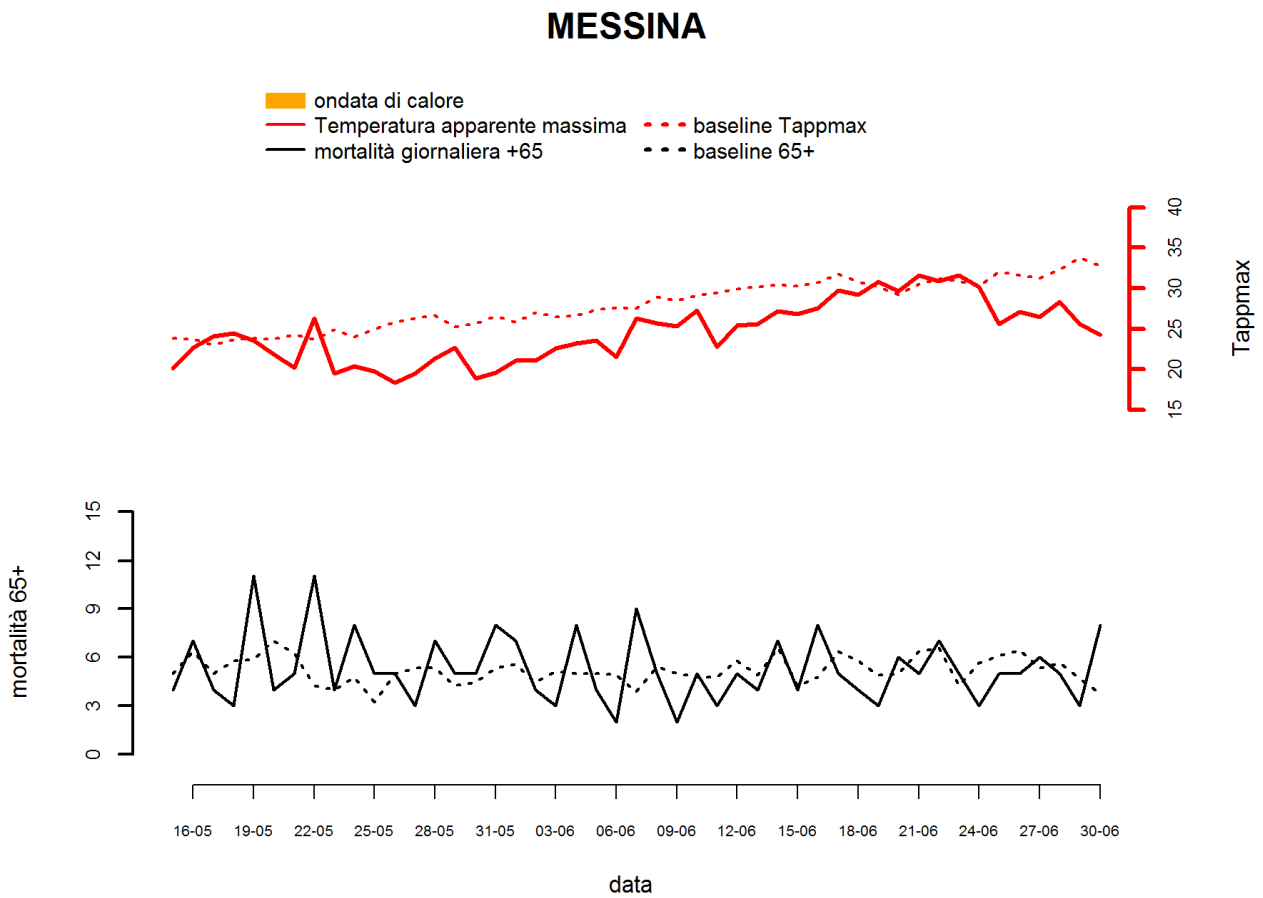
Figura 1. Andamento giornaliero della Temperatura apparente massima e del numero di decessi osservati e attesi nella classe di età 65 anni e oltre.





Messina

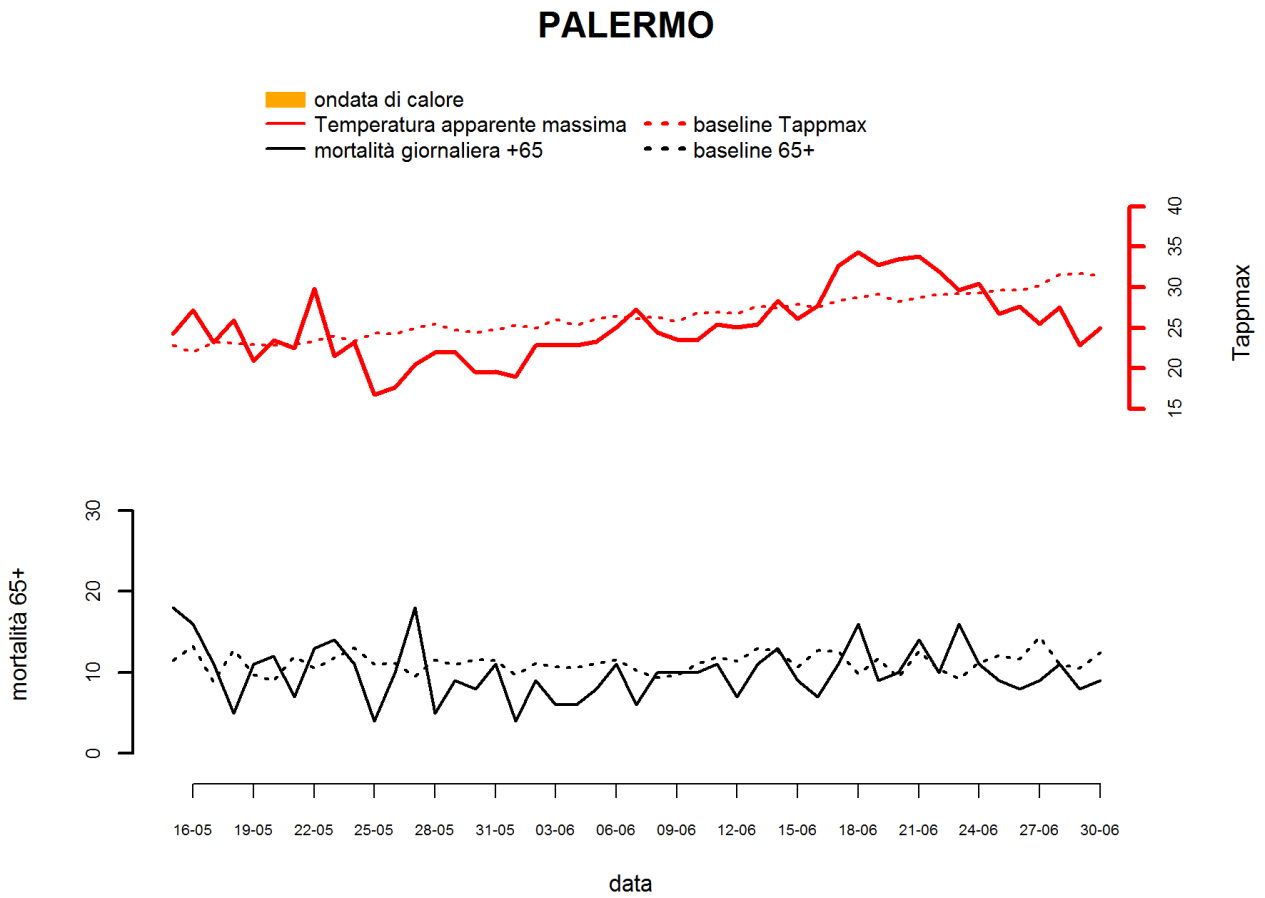
Figura 1. Andamento giornaliero della Temperatura apparente massima e del numero di decessi osservati e attesi nella classe di età 65 anni e oltre.





Palermo

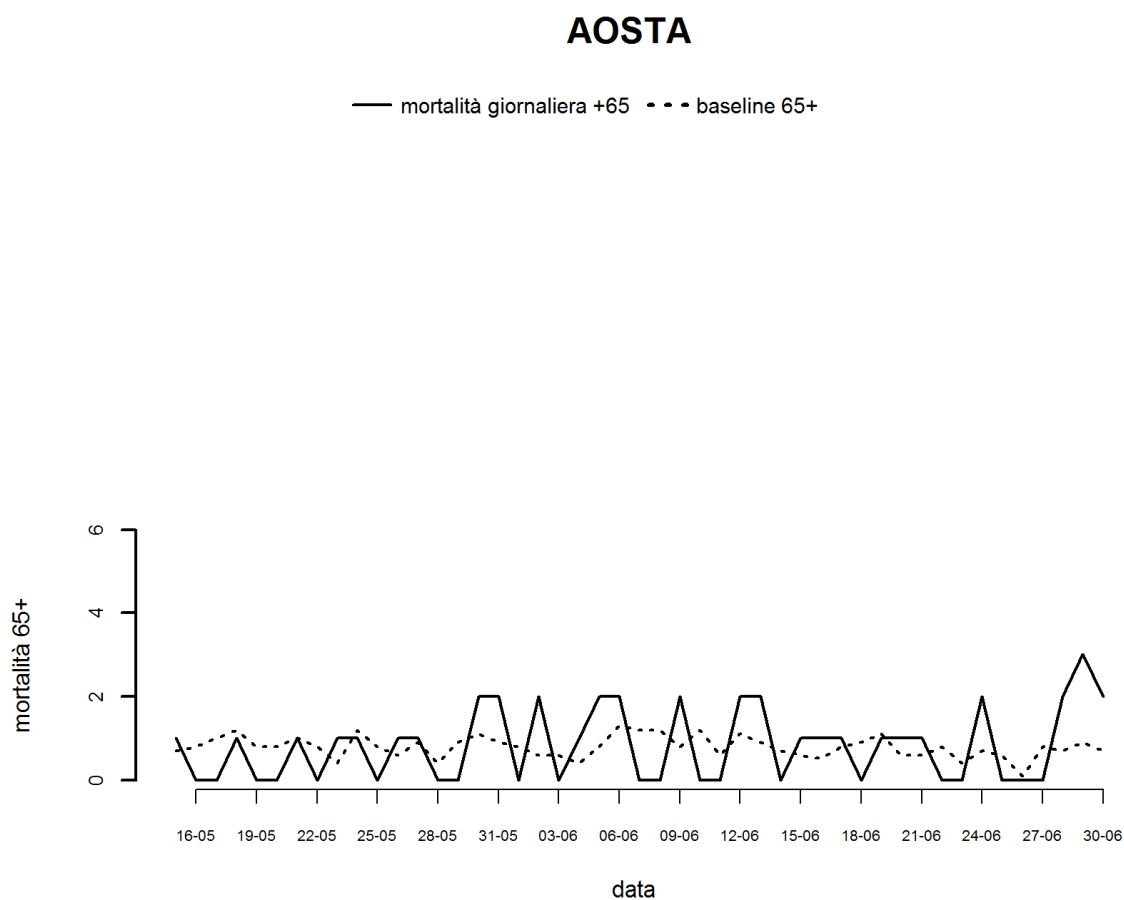
Figura 1. Andamento giornaliero della Temperatura apparente massima e del numero di decessi osservati e attesi nella classe di età 65 anni e oltre.



Risultati per le città in cui è attivo soltanto il Sistema rapido di rilevazione della mortalità estiva

Aosta

Figura 1. Andamento giornaliero del numero di decessi osservati e attesi nella classe di età 65 anni e oltre.

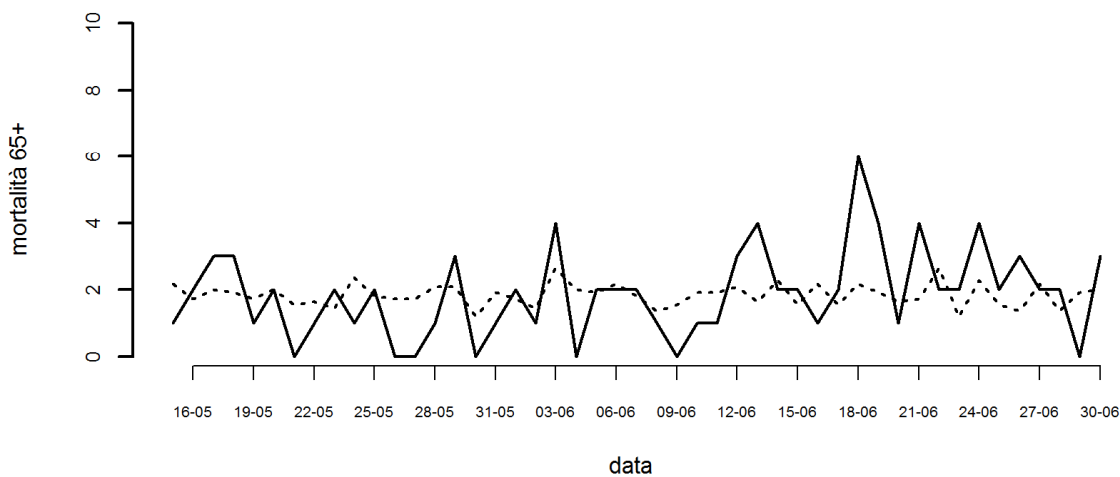


Trento

Figura 1. Andamento giornaliero del numero di decessi osservati e attesi nella classe di età 65 anni e oltre.

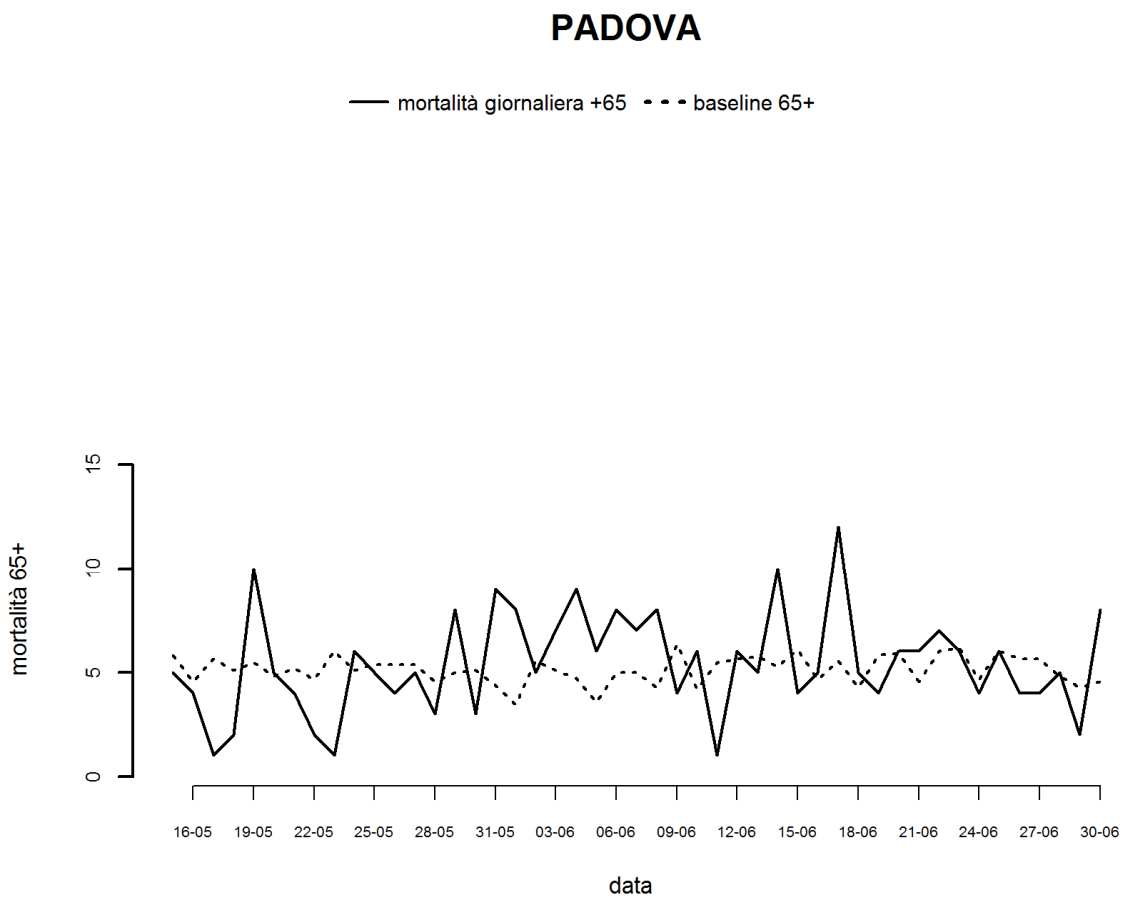
TRENTO

— mortalità giornaliera +65 - - - baseline 65+



Padova

Figura 1. Andamento giornaliero del numero di decessi osservati e attesi nella classe di età 65 anni e oltre.

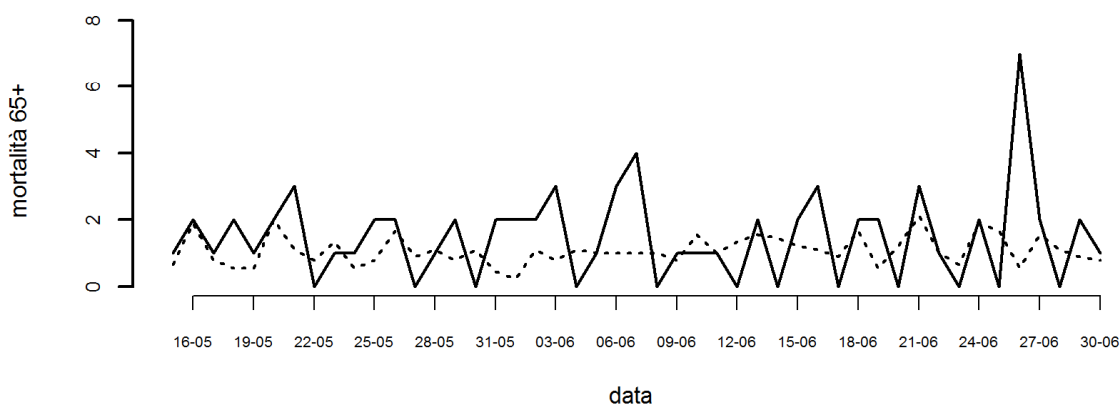


Potenza

Figura 1. Andamento giornaliero del numero di decessi osservati e attesi nella classe di età 65 anni e oltre.

POTENZA

— mortalità giornaliera +65 - - - baseline 65+

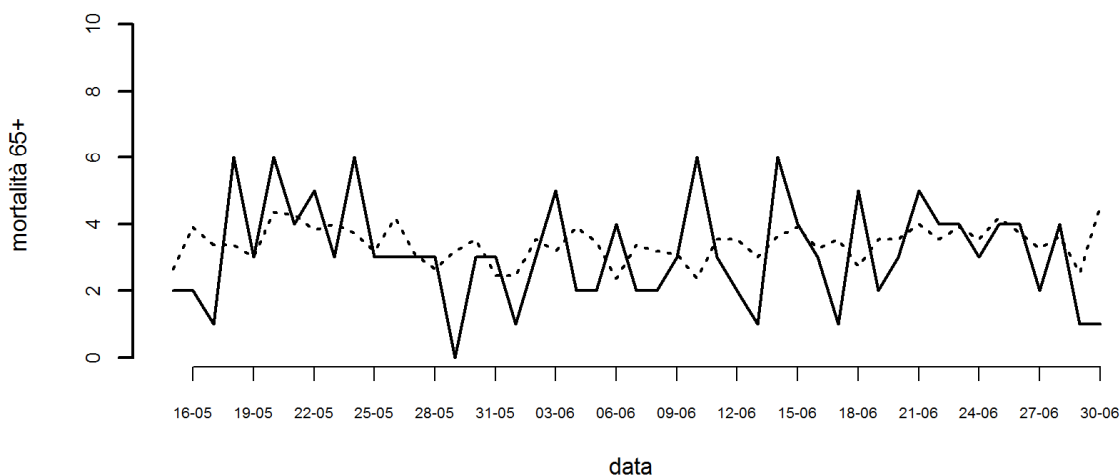


Taranto

Figura 1. Andamento giornaliero del numero di decessi osservati e attesi nella classe di età 65 anni e oltre.

TARANTO

— mortalità giornaliera +65 ··· baseline 65+



Catanzaro

Figura 1. Andamento giornaliero del numero di decessi osservati e attesi nella classe di età 65 anni e oltre.

CATANZARO

— mortalità giornaliera +65 - - - baseline 65+

